



پنجاه سال کاربرد سالیابی ابسیدین هیدراته شده در باستان‌شناسی^۱

ایوننیس لیریتیزیس، نیکولاوس لاسکاریس،

(مکاتبات با نویسنده مسئول: liritzis@rhodes.aegean.gr)

برگردان: نگار کاظمی پور

کارشناس مرمت آثار تاریخی و فرهنگی دانشگاه هنر اسلامی تبریز

(مکاتبات مترجم: negarkazemipour@gmail.com)

چکیده

حدود پنجاه سال قبل، اسمیت و فریدمن به پدیدهای بنام هیدراته شدن ابسیدین پی بردن و روش آزمایشی سالیابی را بر پایه سنجش نوری عمق هیدراته شدگی برای رسیدن به سن مطلق مطرح کردند. آنها و محققین بعدی نسخه‌های متفاوتی از سالیابی را بر پایه هیدراته شدن ابسیدین توسعه دادند که شامل هر دو روش تجربی و علمی است. با این حال، با وجود دقت اندازه‌گیری بسیار بالایی که میکروسکوپ نوری دیجیتال با به کارگیری طیف سنجی مادون قرمز و تجزیه و تحلیل‌های هسته‌ای دارد، گاهی اوقات روش‌های سالیابی سنتی نیز نتایج رضایت بخشی به همراه داشته اما قادر به تولید نتایج قابل اعتماد در زمینه گاهنگاری نبوده‌اند. طی دهه‌ی گذشته، طیف سنجی جرمی یون ثانویه (SIMS)^۲ به کار گرفته شد تا شناسایی مقطع عرضی هیدراته شده را بهبود بخشد. با استفاده از مدل‌سازی مقطع غلظت هیدروژن سطحی نسبت به عمق، امکان تعیین سن از طریق فرآیند انتشار حاصل گردید. محدودیت مدل‌سازی متفاوت و ارزیابی‌های ضروری، روش طیف‌نگاری جرمی یون ثانویه (SIMS-SS)^۳ را اساس و بنیان مناسبی برای سن-یابی انتشار ایجاد کرده و نتایج امیدوار کننده‌ای به همراه داشته است. این بررسی بر پیشرفت روش سالیابی بر اساس هیدراته شدن ابسیدین (OHD)^۴ و فرآیند انتشار آن در شیشه اشاره داشته و رهیافت‌های آتی ناشی از کاربرد روش طیف‌سنجی جرمی یونی ثانویه در ابسیدین را مورد بررسی قرار داده است.

کلید واژگان: هیدراته شدن ابسیدین، سالیابی، طیف‌سنجی جرمی یونی ثانویه، میکروسکوپ نوری دیجیتال.

۱- معرفی

تحقیقات در زمینه‌ی شیمی خاک و باستان‌سنگی موجب پیشرفت روش گاهنگاری بر پایه واکنش انتشار آب در سنگ ابسیدین شده که برای سالیابی ترکیبات زمین‌شناسی و مصنوعات بومی ساخته شده از سنگ ابسیدین کاربرد دارد. داده‌های ناشی از رادیوکربن نشان می‌دهند که میزان هیدراته شدن در انواع منابع ابسیدین متنوع است. در پنجاه سال اخیر مسئله انتشار در سالیابی به روش هیدراته شدن ابسیدین، بهخصوص در دوره وابسته به نسبت‌های تجربی^{۱/t} [۱]، پیشرفت‌های شایانی در زمینه شناسایی تکنیک‌های تفکیک پذیری بالای تصویر (وضوح تصویر بالا)، در اندازه‌گیری حلقه هیدراته شده و ویژگی‌های انتشار، تعیین روش بهتر در شناسایی میزان انتشار [۲-۷]. (تصویر ۱)، مدل‌هایی برای ارزیابی درجه حرارت مؤثر در هیدراته شدن [۱۰-۱۱] و همچنین، مطالعات انجام شده در مکانیسم انتشار داشته است [۱۲-۱۴]. هدف از این بررسی، ارائه خلاصه‌ی تاریخی کوتاه از برنامه‌های کاربردی سالیابی به روش هیدراته شدن ابسیدین و محدودیت‌های موجود در زمینه پردازش وضعیت انتشار در ابسیدین‌ها بوده، و نیز اظهار نظر در مورد وضعیت کنونی تحقیقات کاربرد پرتوهای هسته‌ای مانند طیف سنگی جرمی یون ثانویه در سالیابی ابسیدین است. در بخش دوم، این مقاله در خصوص ارتباط میان مطالعات انتشار در شیشه تا ذخیره‌سازی طولانی مدت زباله‌های هسته‌ای به شکل منجمد شده، پرداخته است.

۲- فرآیند انتشار در ابسیدین‌ها

گسترده‌گی و تنوع خصوصیات در منابع ابسیدین آمریکای غربی منجر به شناسایی پیچیدگی قابل توجهی از کیفیت فازها شده است. نتایج انبساط حرارتی، اندازه‌گیری چگالی، سختی سنگی^۵، دوام شیمیایی، طیف سنگی به روش مازباور^۶ و طیف مادون قرمز توسط اریکسون و همکاران ارائه گردید [۱۵]. آنها دریافتند که ابسیدین یک شیشه بادوام شیمیایی بالا در حد قابل مقایسه با پیرکس بوده و نیز دارای سختی بالا، قابل مقایسه با شیشه سیلیکا است. مکانیسم دقیق انتشار (نفوذ) آب در ساختار آمورف شیشه، توسط جابه‌جاگی مکانیکی یا تبادلات مولکولی همچنان موضوع تحقیقات است [۱۳ و ۱۴ و ۲۰-۲۰]. در هر صورت، واکنش انتشار (نفوذ) تقریباً توسط معادله ۱ زیر توصیف می‌شود.

$$\partial W = \partial t = \partial \delta D e \partial W = \partial x P = \partial x \quad \text{معادله ۱:}$$

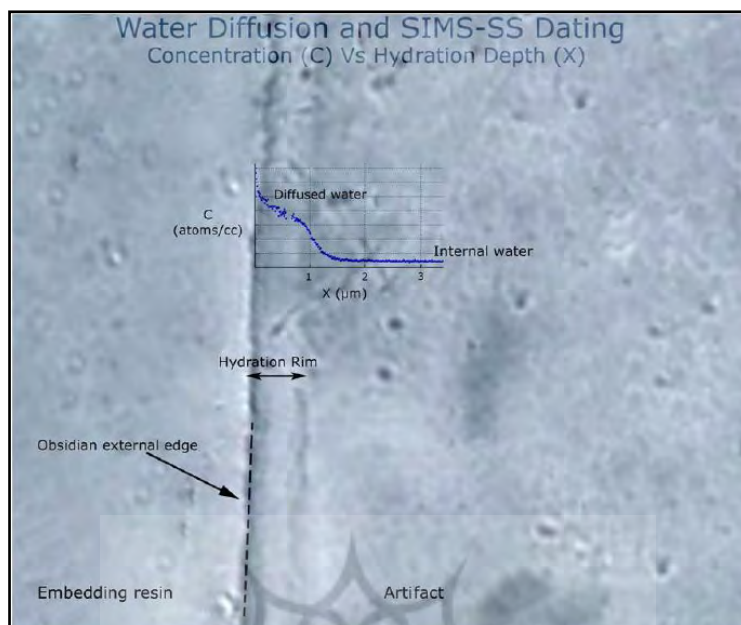
در اینجا W نشانگر غلظت مجموع آب- OH^- و H_2O_+ [۱۴-۱۷] و D_e ضریب نفوذ مؤثر است که توسط معادله ۲ ارائه شده است.

$$D_e = 2 W D / \beta; \quad \text{معادله ۲:}$$

که در اینجا D ثابت ضریب انتشار مشخصه‌های مولکولی H_2O بوده و β ثابت تناسب استوالت^۷ مربوط به حلایت آب در ابسیدین است [۱۷]. راه حل کلی معادله نیازمند روش‌های عددی است {۲۱} که به این

پنجاه سال کاربرد سالیابی ابسیدین هیدراته شده در باستان‌شناسی

مسئله پرداخته نشده است، اما همچنان کانون توجهات مختلف است [۲۰]؛ جزئیات این مسئله عصر جدیدی از رویکردهای مبتنی بر طیف سنجی یون ثانویه را منجر گردیده است [۲۲ و ۲۳].



تصویر ۱. تصویر اپتیکال از بخش نازک لایه هیدراته شده ابسیدین که با مشخصات SIMS همپوشانی دارد.

با این حال، در موارد باستان‌شناسی، تغییرات دمایی، در روند آب و هوایی طولانی مدت تأثیرگذار هستند، در نتیجه D یک تابع از زمان است ($D(t)$). نشان می‌دهد که اگر مقدار ثابت D در معادله ۱ با مقدار متوسطی از $D(t)$ جایگزین شود، در دوره زمانی موردنظر، مسئله نفوذ (انتشار) قابل حل است. هرچند D زمان ثابت باشد [۲۰]. در مطالعه جدید بین بروdkی و لیتیزیس [۲۴] در نمونه بازسازی شده طیفنگاری جرمی یون ثانویه شبیه D مساوی با معکوس پراکنش یون H^+ در نظر گرفته شد. اما کل این نمودار گویای وجود ابهام در D برای انجام تحقیقات است. در واقع ادبیات قابل توجه و مهمی در رابطه با انتشار آب در شیشه‌های طبیعی و گدازهای (ابسیدین، تکتیت‌ها^۸ و شیشه‌ها) در درجه حرارت (بالاتر از ۴۰۰) [۲۵-۱۹] نزدیک و بالای دمای انتقال شیشهای وجود دارد. در این درجه حرارت‌ها آب به شکل مولکول H_2O وارد شیشه ابسیدین شده و به واسطه واکنش با ساختار شیشهای سیلیکات در شکل هیدروکسیل OH تشکیل می‌شود. نشان داده شده است که آب ساختاری موجود در توده غیر هیدراته ابسیدین به دو شکل مولکول آب H_2O و نیز هیدروکسیل OH وجود دارد. مجموع این دو نوع، به کل غلظت (تراکم) آب اشاره دارد. سیلور^۹ و همکارانش [۲۷] رابطه بین این دو گونه را به عنوان یک تابع از غلظت کل آب نشان دادند. براساس طیف مادون قرمز از لایه هیدراته شده گستردگی در ابسیدین [۲۸]، به نظر می‌رسد که نوع آب مولکولی سرچشمه انتشار در سطح ابسیدین است.

پنجاه سال کاربرد سالیابی ابسیدین هیدراته شده در باستان‌شناسی

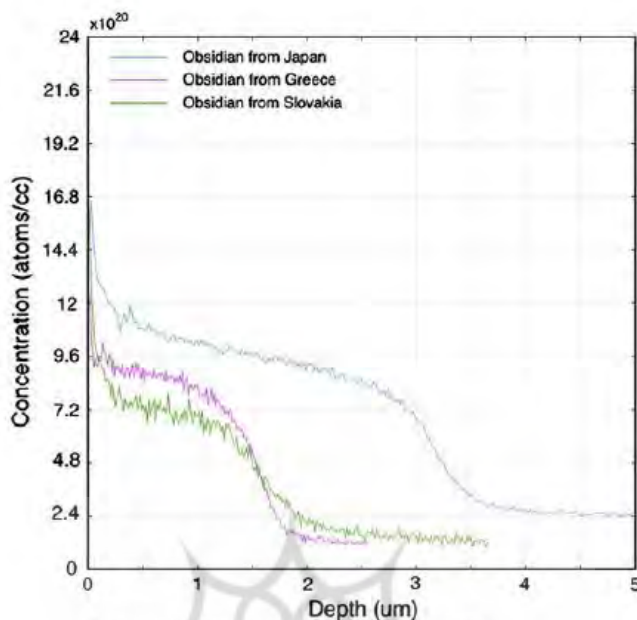
این امر به خوبی اثبات شده است که میزان غلظت آب ساختاری در شیشه‌های طبیعی ممکن است تا چند دهم درصد محدود شود [۲۹ و ۳۰ و ۳۱]. ضریب انتشار با افزایش میزان غلظت، افزایش خواهد یافت. دلیل این اتفاق وجود مقادیر زیادی SiOH (هیدروکسید سیلیسیم) در شبکه ابسیدین است.^{۱۰} که موجب تضعیف پیوند Si-O-Si شده و ممکن است به راحتی شکسته شود و در نتیجه کل انرژی فعال سازی کم گردد [۳۰ و ۳۱]. با این حال دیدگاه دوم ممکن است مورد تجدید نظر واقع شود، زیرا به نظر می‌رسد سیلانولز به دنبال هیدروژن سیگموید در جریان انتشار آب قرار می‌گیرد (مراجعه کنید به زیر بخش ۹).

میزان تبادلات بین مولکول H_2O و OH تابعی از دما هستند و تا حد زیادی در دمای زیر 400°C کاهش می‌یابد؛ اما اساساً این تبادلات در دمای بالاتر از 400°C نیز واقع می‌شود [۱۸]. برونیابی برای کاهش درجه حرارت در شیشه‌هایی که هیدراته شدن آنها در دمای محیط (40°C) اتفاق می‌افتد، در حداقل میزان خود قرار دارد و شتاب آزمایشات ابسیدین در دمای محیط بیانگر تفاوت‌های قابل توجه در میزان و روند انتشار نسبت به دماهای بالاتر است. با این حال شواهد تجربی نشان می‌دهد که مکانیسم‌های مختلفی برای نفوذ آب در درجه حرارت‌های پائین وجود دارد ولی ضریب نفوذ در دمای 40°C به طور دقیق با ضریب گسترش در نمونه‌های آب و هوایی طبیعی^{۱۱} قابل قیاس نیست [۳۲-۳۵]. در نهایت، مطالعات باستان‌شناسی، طیف سنجی مادون قرمز نشان می‌دهد که محیط مولکول آب متحرک بوده، وارد سطح شیشه شده و غلظت هیدروژن در ماتریکس شیشه همچنان ثابت باقی می‌ماند. انتشار آب در شیشه ارتباط زیادی با میزان غلظت آب قبلی در بدنه ابسیدین دارد. این پدیده به عنوان انتشار وابسته به غلظت^{۱۲} شناخته می‌شود. تحت دمای محیط (40°C) در طول مراحل اولیه هیدراته شدن، ضریب انتشار، طی فرآیند انتشار با مقدار ثابت D از حالت پایداری پیروی نکرده و از لحظه ریاضی نیز قابل ارزیابی با قانون دوم فیکر^{۱۳} نیست [۲۰ و ۲۴]. در هر روش، هنگامی که آب وارد شبکه شیشه می‌شود، ساختار آن دیپلیمریزه و هیدروژنه شده و یون‌های سیلانولز (Si-OH) شکل می‌گیرند در این صورت آب اضافی با سرعت بیشتری وارد شیشه شده، در حالی که در این دوره از زمان واکنش شیمیایی از قانون فیکر تبعیت می‌کند. تغییر ضریب انتشار، منجر به شکل گیری مشخصه فرم عمق غلظت^{۱۴} می‌گردد.

با توجه به مدل دیگر، مولکول‌های H_2O مسیرهای متفاوت زیادی جهت انتشار به شکل ناهمگن انتخاب می‌کنند، به عنوان مکانیسم وابسته به اندازه فرض می‌شود که مولکول‌های آب با شعاع $r_w=0.15\text{ nm}$ فضاهای بینابینی ابسیدین را اشغال کرده و از طریق درگاه‌های با شعاع r_D عبور کرده و از درگاهی به درگاه دیگر پرتاپ می‌شوند. شعاع برابر با 10 nm (۰.۱ nm) از معادله انرژی راجع به فعال‌سازی مشتق شده است، که به عنوان انرژی الاستیک لازم برای انبساط حفره کروی شکل با شعاع r_D تا r شناخته شده است [۳۹ و ۳۹]. سرعتی که در آن، این فرآیند رخ می‌دهد بستگی به فاصله بین مولکولی ماتریکس مواد

پنجاه سال کاربرد سالیابی ابسیدین هیدراته شده در باستان‌شناسی

میزان در مقایسه با میزان انتشار دارد [۳۹]. در این نوع فرآیند انتشار در زمانیکه آب، اتمسفر را ترک می‌کند یک لایه خارجی شکل می‌یابد و رطوبت رسوب کرده و در داخل ساختار شیشه‌ای نفوذ می‌کند.



شکل ۱. نتایج SIMS مقاطع سه نمونه ابسیدین از یونان، ژاپن و اسلوواکی

به طور خاص، لایه اشباع سطحی ^{15}O در $1\text{ }\mu\text{m}$ -۳ اول از سطح ابسیدین از طریق دو مکانیسم انتشار شکل می‌گیرد. در مکانیسم اول آب محیطی از پیرامون وارد سطح بیرونی ابسیدین می‌شود و مکانیسم دوم مسئول فرآیند انتشار به داخل اثر است. با این حال، مقطع هیدروژن در نمونه‌های آزمایشی در دمایی بالاتر از دمای محیط نشان داده است که مرز نفوذ در انتشار به داخل اثر (ابسیدین) و شیشه‌های طبیعی، در پایه منظمی از زمان [۴۰ و ۴۱] پیشرفت می‌کند. این امر بسیاری از محققان را بر آن داشت تا فرمولی وابسته به زمان ($t/1$) اتخاذ کنند تا نحوه نفوذ آب به داخل ساختارهای شیشه‌ای را توصیف کرده و قدمت باستان‌شناسانه اثر را برآورد کنند [۴۲ و ۴۳].

۳- شرح مختصری از تاریخچه‌ی OHD

انسان‌های اولیه برای ساخت ابزار خود از انواع سنگ‌ها از جمله ابسیدین، که سنگ شیشه‌ای آتشفسانی و غنی از سیلیکا است، استفاده کنند. اگرچه قدمت دقیق مصنوعات سنگی از اهمیت اساسی در باستان‌شناسی برخوردار است، تا بحال تنها توسط سالیابی شکافت [۱۶] و هیدراته شدن ابسیدین، شناسایی قدمت ابسیدین امکان پذیر بوده است [۴۳]. علی‌رغم وجود صدها عدد از مصنوعات قدمت‌دار تاکنون، تنها تعداد انگشت شماری به حدی کافی گرم شده‌اند تا زمان سنج آهنگ شکافت آنها مجدداً روی صفر، تنظیم شده باشد [۴۴ و ۴۵]. بر عکس، طی دوران دفن تاریخی در خاک، اشیای ساخته شده از ابسیدین رطوبت محیطی را

پنجاه سال کاربرد سالیابی ابسیدین هیدراته شده در باستان‌شناسی

به سرعت جذب کردند. این مسئله در نظریه روش OHD فریدمن و اسمیت در سال ۱۹۶۰ پیشنهاد گردید. آنها اشاره کردند که در مقطع نازک، لبه هیدراته توسط بزرگنمایی میکروسکوپی با قدرت بالا قابل مشاهده است و اینکه پهنه‌ای آن به زمان ارائه، ترکیب مواد شیمیایی شیشه و درجه حرارت زمین بستگی دارد. آنها به منظور سالیابی یک معادله تجربی در فرم زیر پیشنهاد کردند:

$$(3) x_2 = kt \quad \text{معادله ۳ و ۴}$$

با

$$(4) k = A \exp(-E / RT)$$

برای ثابت انرژی فعال سازی در معادله آرنیوس که در آن (معادله ۳)، به ترتیب X ضخامت (بر حسب میلی‌متر) از لبه هیدراته شده ابسیدین است، K سرعت هیدراته شدن (سال $2\mu\text{m} / 1000$)، (t) سن بر اساس سال و در معادله (۴) T دمای مطلق (کلوین) در واقع دمای مؤثر هیدراته شدن (EHT)، A ثابت منبع خاص ضریب انتشار ($\text{day}^{-1}\mu\text{m}^{-2}$) و E انرژی فعال سازی (کالری یا ژول در هر مول) و R ثابت گاز است (کالری در هر درجه در هر مول، یعنی $1/987$). به دلیل سهولت برش و صیقل دادن ابسیدین و اندازه‌گیری ضخامت حلقه هیدراته شده توسط میکروسکوپ نوری، در دهه ۱۹۷۰ تا به امروز تعداد زیادی اندازه‌گیری هیدراته شدگی ابسیدین انجام یافته است [۴۶-۵۳]. در طول پنجاه سال گذشته، در محوطه‌های تولید ابسیدین، چنین روش ضروری سالیابی، با روش سالیابی رادیوکربن رقابت کرده اما به دلیل تناسبات بسیار با سایر روش‌ها، منجر به شک و تردید در مورد اعتبار آن شده است [۵۴ و ۵۵]. مشکل مهم در روش OHD در معادله ۳ و ۴، تعیین "درجه حرارت مؤثر" T جهت رسیدن به تاریخچه حرارتی شیء ابسیدین در طول زمان دفن آن در زمین است. به این دلیل استراتژی سالیابی از سال‌های نخستین OHD برای غلبه بر این مشکل استفاده شده است. در روش تجربی، که برپایه معادله (Eq^{17}) استوار است، پارامتر K بر اساس سن عددی کربن ۱۴ کالیبره شده و میانگین ضخامت لایه هیدراته شده، برای یک موقعیت و ترکیب خاص سنگ ابسیدین تعریف شده است. مقدار K به دست آمده برای محوطه‌های مجاور که از لحاظ آب و هوایی نیز یکسان هستند قابل تعمیم است، هرچند مقدار آب درونی هر نمونه نکته مهمی است [۱۱ و ۲۹ و ۵۲ و ۵۹]. این روش بسیار سوال برانگیز بوده و طی دهه‌های ۸۰ و ۹۰ پارامترهایی در فهم هیدراته شدن شیشه و همچنین عدم قطعیت‌ها در مورد کاربرد داده‌های زیست محیطی از محوطه‌های خاص مورد ارزیابی قرار گرفت. تفاوت‌های آب و هوایی بین نقاط مختلف و حتی در درون همان منبع، ممکن است اثرات شدیدی روی مقدار K و به تبع آن OHD داشته باشد.

روش دوم که پیچیده‌تر بوده و در عین حال بسیار کاربردی، به عنوان روش اصلی به طور تجربی نیاز به تعیین ثابت سرعت داشته و با ایستی با اندازه‌گیری دقیق دمای محوطه جهت رسیدن به سن هیدراته شدگی همراه

پنجاه سال کاربرد سالیابی ابسیدین هیدراته شده در باستان‌شناسی

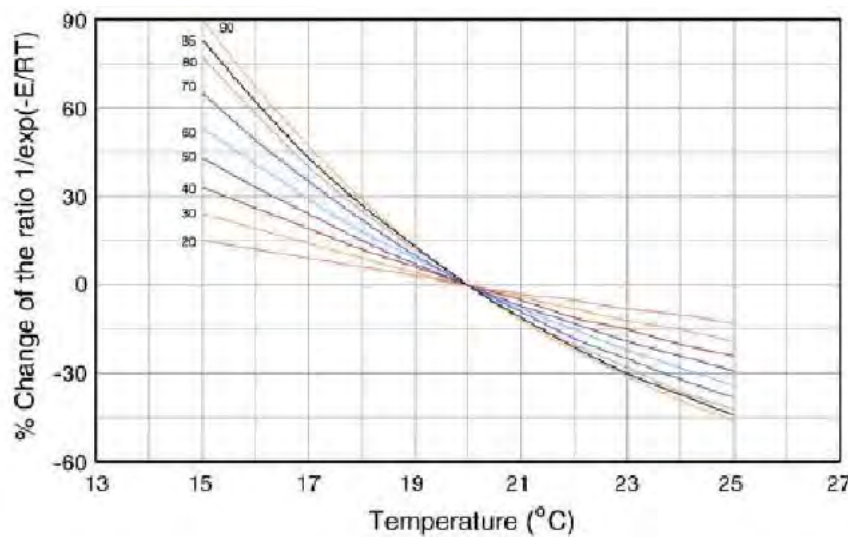
باشد. مجدداً، نتایج گزارش شده تا به امروز، با وجود نمونه‌های صحیح، حیرت آور و گیج کننده بوده و خطاهای کالیبراسیون کمبود روش‌های قابل اعتماد و دقیق را بیشتر نمایان کرد [۱۵ و ۲۹ و ۴۹ و ۵۴ و ۵۸-۶۰]. در واقع این روش برای برآورد دمای مؤثر T برای یک محوطه، از پارامترهای محاسبه و اندازه‌گیری دما با تردید استفاده کرده، چرا که هرگز نمی‌توان تاریخچه حرارتی هر شی را به‌طور کامل شناخت [۱۰ و ۱۱ و ۶۱]. گاهی اوقات تکنیک‌های ریاضی هرچند همراه با عدم قطعیت، برای محاسبه تغییرات دمایی استفاده می‌شوند. هر روش سالیابی که استفاده شده باشد، تمرين عملی خوبی برای تعیین قدمت تعداد بیشتری اشیاء فرهنگی و محوطه‌ها بوده است. در طول دهه گذشته، معرفی روش‌های تحلیل جدید و بازبینی فرآیندهای انتشار در زمینه هیدراته شدگی ابسیدین، یک دوره جدید در سالیابی هیدراته شدن ابسیدین گشوده است [۶۲]. در هر شکل، برای سالیابی به روش هیدراته شدن ابسیدین، درک نظری کافی از مکانیسم و چگونگی انتشار آب به داخل ساختار شیشه و ایجاد ضریب انتشار برای فرآیند نیاز است. میزان نفوذ آب، ضریب انتشار به صورت تابعی از دما مقبول واقع شده است و بر اساس تجربه‌های آزمایشگاهی الگوی رفتاری آرنیوس^{۱۸} دلالت دارد.

در طول سالیان برای پیمایش حرکت آب محیطی به داخل ساختار شیشه، و اینکه چگونه جزئی از ترکیب شیشه شده، و نیز شبیه‌سازی تاریخ زیست محیطی اثر تدابیر بسیاری توسعه یافته‌اند. (به عنوان مثال دما و رطوبت) در اصل میزان هیدراته شدن به شیمی ابسیدین، مقدار آب درونی (ذاتی) شیشه، دما، رطوبت نسبی و شیمی آب نفوذ یافته بستگی دارد [۶۳ و ۶۴ و ۶۷-۶۸]. راجرز [۶۸] چنین بیان می‌کند که نتایج به‌دست آمده، حاصل خطای ناشی از پروتکل هیدراته شدن به‌خصوص در مشخصه EHT است که به جای آنالیز بر پایه شبیه‌سازی منتو کارلو^{۱۹} بروایه اندازه‌گیری و فرآیند آنالیز بدون تأثیرات تغییر متغیر مطرح شده است. بعدها، راجرز نتیجه می‌گیرد که سالیابی هیدراته شدن ابسیدین با استفاده از مجموع روش‌های شناخته شده آزمایشگاهی رادیوکربن، می‌تواند روش معتبری برای انجام گاهنگاری‌ها باشد [۱۱]. در حال حاضر، معادله ۳ در تمام محیط‌ها قابل اجرا نیست، و برای برونو یا بی هیدراته شدن آزمایشگاهی ابسیدین از نقطه آرنیوس به سوی شرایط محیطی نمی‌توان قطبی انتشار قطعی تعیین کرد [۲۳ و ۲۴]. چند دهه پژوهش، بیانگر پیچیدگی فرآیند هیدراته شدگی بوده و باستی در فرضیه‌های مربوط به سالیابی هیدراته شدن ابسیدین تجدید نظر گردد [۱۰ و ۲۹ و ۶۴ و ۶۸] با وجود سال‌ها فعالیت و توسعه، نتایج قابل اعتمادی از هیچ یک از رویکردهای گروه‌های تحقیقاتی ایالات متحده آمریکا و استرالیا حاصل نشده است. در برخی موارد سن به‌دست آمده با اطلاعات گاهنگاری ابزار ابسیدین و گاهنگاری ثبتیت شده متناقض است [۱۱ و ۲۳ و ۳۹ و ۵۳ و ۵۵].

علی‌رغم سن نسبی قابل قبول که در برخی موارد به کمک روش OHD حاصل می‌شود [۲۸]، متخصصین اندازه‌گیری به اشتباهات عمدی‌ای در سایر موارد اشاره می‌کنند [۵۵]. یکی از مشکلات عمدی مربوط به نحوه

پنجاه سال کاربرد سالیابی ابسیدین هیدراته شده در باستان‌شناسی

شناسایی نوری ضخامت لایه هیدراته شده، وضوح پایین میکروسکوپ نوری و ارتباط بین ضخامت اندازه گرفته شده و عمق واقعی آب نفوذی است [۶۹ و ۲۳].



شکل ۲. درصد خطای انحراف به میزان $\exp(-E/RT)$ در انرژی‌های فعال سازی متغیر از ۲۰ کیلوژول بر مول تا ۹۰ و برای دمای $+5^{\circ}\text{C}$ برابر است با 20°C درجه سانتی‌گراد.

با کشف این مشکلات روش‌های جدیدتر مانند طیف سنجی مادون قرمز (IR) برای اندازه‌گیری میزان آب هیدراته ابسیدین به کار گرفته شدند [۴۰، ۷۰]. طیف سنجی مادون قرمز به روش فتواکوستیک 20 برای اندازه‌گیری حجم آب ابسیدین و عمق نفوذ آب استفاده می‌شود [۵۶، ۵۵]. روش بعدی برای تخمین عمق لایه هیدراته شده، به کمک روش SIMS نسبتاً کالیبره شده و دارای دقت و اطمینان بیشتری نسبت به میکروسکوپ نوری است [۷۱]. اگرچه نتایج آزمایشگاهی شناخته شده و گستردگایی از میزان انتشار در منابع سنگ ابسیدین یکسان و درجه حرارت متوسط هیدراته شدن طبیعی با استفاده از دمای سلول‌ها، در دست باشد اما سن رضایت بخش به دست آمده همیشه توسط سالیابی کربن ۱۴ کنترل می‌شود [۵۳].

به طور خلاصه، مشکلات OHD تا حدودی به علت روش‌های تحلیل نامناسب شامل موارد زیر است:

- ۱- خطاهای غیر سیستماتیک ناشی از عدم دقت مقیاس‌های نوری
- ۲- شرایط تجربی و داده‌های ناشی از برآورد میزان هیدراته شدن
- ۳- شبیه‌سازی نادرست از فرآیند هیدراته شدن در یک طرح نظری.

مشکل شماره ۱ به کمک تکنیک‌های آنالیز هسته‌ای مانند SIMS و IRPAS هموار شده است [۷۲، ۷۰، ۶۶، ۴] اما اکثر تاریخ‌های قدیمی به دست آمده با OHD، به دلیل عدم وضوح نوری در شناسایی لبه اشتباه بوده [۲۳ و ۵۱]، در حالیکه روش‌های اندازه‌گیری غیربصری با تصویر اسکن دیجیتال از سراسر باند هیدراته شدن را با دقت $0.05 \pm \mu\text{m}$ انجام می‌دهد [۳۷]. در اوایل دهه ۱۹۷۰ تی‌سانگ ^۱ و همکارانش ^[۳]، استفاده از تحریک شدت نوری در ثبت مشخصات هیدراته شدن ابسیدین را مطرح کردند. این روش از

پنجاه سال کاربرد سالیابی ابسیدین هیدراته شده در باستان‌شناسی

لحاظ کاربرد بمباران نمونه توسط اشعه‌های یونی شبیه SIMS است و سیگنال‌های تشخیصی، نور منتشر شده در طول فرآیند بمباران است. همانطور که اشاره شد، توانایی برای تحریک نمونه توسط یک اشعه یونی جریان بالا، امکان سنجش مقطع هیدراته شدن را تا ۱۰ میکرون در یک زمان معقول به همراه داشت که این قابلیت SIMS را به یک تکنیک تطبیق پذیر تبدیل کرده است.

در مورد گزینه دوم، ثابت شده است که متأسفانه هیدراته شدن آزمایشگاهی، نتایج متناسب با نحوه هیدراته شدن ایجاد شده در محل و یا مشکلات رقیق بودن محلول سیلیکا را به همراه نداشتند [۷۴ و ۷۵ و ۷۶]، با اینکه از یک آزمایش طولانی مدت مصنوعی برای قدمت دار کردن نمونه‌های ابسیدین یافت شده از سه استان آتشفشنای مجرا در پاپوا گینه نو در شرایط فشار هوا و بخار آب طبیعی برای دماهای کنترل شده ۱۰ درجه، ۲۰ درجه، ۳۰ درجه، و ۴۰ درجه به مدت ۲۶ سال استفاده گردید [۱۷]. در مورد اخیر با ارائه میزان ثابت هیدراته شدن برای نمونه ابسیدین از هر کدام از سه منبع اصلی از پاپوا گینه نو تأیید می‌کند. اما در زمینه باستان‌شناسی این اطلاعات همچنان نیاز به کالیبراسیون برای سنجش هیدراته شدن با میکروسکوپ نوری دارند. روش SIMS دارای یک سیستم اضافی سنجش است. که براساس تجربه با میزان ثابت مشخصی برای تاریخ‌های رادیوکربن و محاسبه دمای محوطه مستقل از محوطه باستان‌شناسی از پاپوا گینه نو ترکیب یافته است. در واقع آمبروز، نواک و همکارانشان اشاره کردند [۱۷]. که این رقم خطای در قدمت نشان‌دهنده اختلاف گسترده‌ای از خطای در خوانش هیدراته شدگی بوده، در عین حال خطای ناشی از دما بسیار بزرگتر از خطای در خواندن سن اثر با مقدار صد سال است؛ و بر تأثیر حیاتی دما در تلاش برای دستیابی به مقادیر مطلق قدمت با سالیابی هیدراته شدن ابسیدین تأکید می‌کند. مورد سوم همچنان مورد بحث است. اما در هر روش قطعاً به دور از رویکرد پدیدار شناختی و رویکرد علمی بوده و تنها برپایه تجربه است [۲۴].

۴- برخی برنامه‌های اولیه OHD و توسعه آن

از سال ۱۹۶۰ تعداد زیادی از تاریخ نگاری‌های OHD توسط لابراتوارهای آمریکا و استرالیا منتشر شده است اما به دلیل تردیدهای حاصل شده، تنها تعدادی از لابراتوارها این کار را به طور معمول انجام می‌دهند. بنابراین مقایسه تقریباً ۶۰ نوع گاهنگاری برای سالیابی بر پایه فرمولاسیون برآورد میزان هیدراته شدن ابسیدین، با برخی قدمت‌های کالیبره شده توسط C₁₄ نشان دهنده اختلاف قابل توجه و ضریب همبستگی ضعیف ~۰.۵~۰.۵ است [۵۲]. (ر.ک شکل ۳).

گاهی اوقات OHD تنها در مقالات یا بخشی از یک کتاب بررسی می‌شود. در میان آنها، فریدمن و همکارانش [۷۷]. یک بررسی اساسی ارائه کرده و خلاصه‌ای از مشکلات مرتبط با OHD و نمونه‌های مطالعاتی شامل نمونه‌های باستان‌شناسی از نیومکزیکو، مکزیک مرکزی، بلیز، هندuras، و اوهایو را عنوان

پنجاه سال کاربرد سالیابی ابسیدین هیدراته شده در باستان‌شناسی

کرده‌اند. مطالعات راجع به مکزیک، گواتمالا، و ابسیدین ساردنیای ایتالیا توسط مایکل^{۲۲} و همکارانش، مورد نقد قرار گرفت. نویسنده‌گان در کنار OHD با سالیابی رادیوکربن، آرکومغناطیسم و فازهای سرامیک نتایجی به دست آورده‌اند. فاکتورهای مرتبط با میزان هیدراته شدن (مانند ترکیب شیمیایی ابسیدین، محتوای عناصر تشکیل دهنده، رطوبت نسبی، و شرایط منطقه‌ای) عینیت یافتن تکنیک‌های آزمایشگاهی (آماده‌سازی مقطع نازک و سنجش نوری ضخامت حلقه هیدراته شده) و تبدیل اطلاعات میزان هیدراته شدن به قدمت، نکاتی هستند که باید با احتیاط و دقت بالا انجام گیرند. آنها^{۲۳} روش برای پژوهش‌های آتی استنتاج کردند:

- ۱- جستجو برای یک روش ارزان قیمت برای اندازه‌گیری قشرهای کمتر از ۱.۵ میکرون.
- ۲- تعیین میزان هیدراته شدگی برای طیف وسیعتری از منابع و ترکیبات ابسیدین.
- ۳- توسعه روش غیرمخرب اندازه‌گیری.
- ۴- استانداردسازی روش‌های آزمایشگاهی.

همچنین، در بررسی آنها OHD به عنوان تکنیک علمی ساده و نسبتاً ارزان قیمتی برای گاهنگاری و سالیابی پیشنهاد شده است تا این روش‌ها جایگزین ارزیابی‌های عمومی قبلی گردد. در نهایت نکات ۱ و ۳ به نتیجه رسیده اما گزینه ۲ در حال بررسی است. نکته^{۲۴} به دلیل مشکلات متعدد به طور گستره‌ای از جمله به دلیل موانعی در تقویت هیدراته شدن آزمایشگاهی با توجه به هیدراته شدن باستان‌شناسی مورد توجه قرار نگرفته است بیشترین حساسیت در زمینه OHD مربوط به مشخصه‌های آزمایشگاهی ضریب میزان انتشار است برآورد دمای مؤثر هیدراته شدن (EHT) مورد دیگری است که توسط براسول^{۲۵} [۷۸] از مطالعات فاز کونر^{۲۶} در کوپان هندوراس حاصل شده است. وی معتقد بود که استنتاج ثابت آزمایشگاهی برای تعیین قدمت بسیار سوال برانگیز بوده و نیاز به مطالعه و ارزیابی دارد. او نشان داد که چگونه یک خطای ناچیز در مورد درجه حرارت کلوین در تعیین EHT منجر به سالیابی با قرن‌ها اختلاف می‌شود. با در نظر گرفتن احتمال خطاهای بزرگ در سالیابی ابسیدین‌های کوپان، ادعای این موضوع که فازهای کونر باید فراتر از A.D ۹۰۰ باشد، [۷۸ و ۷۹] بسیار زود هنگام است. سالیابی رادیوشیمیایی لزو و همکارانش^[۸۰] [به سنجش میزان آب لایه هیدراته در سطح ابسیدین می‌پردازد که آب تریتیوم (تریتیوم ۲۰ میکرولیتر از ۱ در ۹۰ CI · ML-۵ در درجه سانتی گراد به مدت ۱۰ روز) با آب موجود در سطح تبادل می‌کند. تبادل برگشتی آب به ضخامت حلقه هیدراته شده مربوط است. اگرچه این روش غیر مخرب است، برای سنجش نوری دقیق توسعه لایه‌های هیدراته‌ای که جوان‌تر هستند، بیشتر قابل اجرا است. با این حال از این روش استقبال چندانی نشد.

با پیروی از منطق عمومی روش OHD جریان بازالت و بمبهایی که حاوی شیشه ذوب شده ریولیت هستند، را نیز می‌توان سالیابی نمود. کاربردهای بیشتر OHD شامل سالیابی ابسیدین‌های هزاره گذشته در نیوزیلند توسط استیوسون و همکارانش است که در آنجا میزان هیدراته شدگی، بر پایه مقدار آب ابسیدین

پنجاه سال کاربرد سالیابی ابسیدین هیدراته شده در باستان‌شناسی

برآورده شده از چگالی اثر محاسبه گردید [۸۱] و دمای مؤثر هیدراته شدن نیز برپایه دماهای مشتق شده از سلول‌های حرارتی بنیان گردید.

سالیابی به روش هیدراته شدن رضایت بخش است اما در مقایسه با سالیابی رادیوکربن در یک مورد مشترک از شش محوطه باستان‌شناسی در شمال جزیره نیوزیلند [۸۲]، روش OHD بیشتر از دویست تا سیصد سال دارای خطا بود. آمبروز [۸۳] و همکارانش برای محوطه پامواک^{۲۵} از جزیره مانو در پاپوا گینه نو شبیه‌سازی بر اساس ضخامت هیدراته شده و برپایه سطح شکاف‌ها برای عمق قدمت آنجا پیشنهاد کرده و با نتایج حاصل از کربن ۱۴ مقایسه کردند. در میان مشکلات آب و هوا و انحلال که به آسانی قابل مشاهده هستند، مقایسه با کربن ۱۴ خود نیز گیج کننده است. عموماً کربن ۱۴ یا سالیابی باستان‌شناسی به همراه OHD کمک می‌کنند تا میزان هیدراته شدن برای یک منبع و مکان خاص استنباط شده و متعاقباً برای تاریخ احتمالی ظهور ابزارها در همان محوطه نیز استفاده شود. سالیابی هیدراته شدن ابسیدین به عنوان یک شاخص گاهنگاری در استحکامات فرهنگ هوپ ول^{۲۶} (حدود ۵۰۰ ق. میلاد تا ۲۰۰ ب. میلاد) در اوهایو مرکزی [۷۲] به کار رفته است. این کار به کمک SIMS عمق مقطع دقیقی از لایه هیدراته شده ارائه کرد که باعث توسعه در تاریخ‌های جدید هیدراته شدن گردید. داده‌های به دست آمده بیانگر تبادل راه دور ابسیدین در دوره هوپ ول است. در معادله ۳، پارامترهای ثابت ضریب انتشار A و انرژی فعال سازی E، براساس چگالی OH سنجیده شده و EHT با جفت پیلهای قرار داده شده در محوطه برآورده گردید در نهایت تاریخ به دست آمده ۲۵۸ – ۱۱۰ ق. م. و ۹۴ تا ۶۰۷ م. یعنی کل دوره تمدن هوپ ول را شامل می‌شود و این تاریخ با تاریخ به دست آمده توسط کربن ۱۴ برای محوطه دیگر مطابقت داده شد.

براساس انتشار آب در شیشه‌های طبیعی استیونسون^{۲۷} و همکارانش [۸۴] روش OHD را برای سالیابی شیشه‌های ساخته شده با کلسیم بالا به کار گرفتند که نتایج اولیه در هماهنگی با داده‌های تاریخی، معرف بطری‌های شراب ساخته شده توسط مهاجران اروپایی در آمریکای شمالی قرن ۱۷ م. است.

در نهایت در بسیاری موارد درزهای داخلی سالم به عنوان ترک‌های پنهانی برای OHD و مورد استفاده قرار گرفتند و با قرائت میزان سطح داخلی و آب و هوای بیرونی میزان سطح از دست رفته را محاسبه شد [۸۵]. فاکتورهای ثانویه برای این درزها بعد از مقایسه با رادیوکربن به دلیل وجود فاکتور انحلال، تطابق نداشت.

خبرنامه انجمن بین‌المللی مطالعات ابسیدین^{۲۸} تعداد زیادی از تاریخ‌های OHD مورد بحث از نظر کربن ۱۴ و تاریخ باستان‌شناسی موارد مطالعاتی را منتشر کرده است. در هر حال کاهش درخواست‌ها و عدم اعتماد در باستان‌شناسان، باعث نداشتن یک ابزار گاهنگاری OHD مستقل و ثابت شده است. تمہیدات محققان و تلاش‌های شگفت‌انگیز آنها در اصلاح OHD پدیده هیدراته شدن به عنوان یک پدیده فیزیکی-شیمیایی، بسیار امیدوار کننده پیش رفته و تا تسلط کامل در این روش ادامه خواهد یافت. در راستای این

پنجاه سال کاربرد سالیابی ابسیدین هیدراته شده در باستان‌شناسی

تلاش‌ها یک تغییر عمده در انتقال پایه و اساس OHD از سنجش عمق هیدراته شدگی، معرفی فرمولی برای تعیین گذشته حرارتی و شبیه‌سازی تابع وابسته به زمان به سمت شناسایی پیچیدگی و جزئیات مقطع هیدروژن از دگرگونی غلظت آن در عمق، توسط SIMS حاصل گردید. از آنجائی که OHD وابسته به فرآیندهایی است که از ابتدای ایجاد یک محصول رخ می‌دهد، نمی‌تواند همانند روش رادیوکربن و گاه-شناسی درختی^{۲۹}، دقیق و قابل اعتماد باشد و بایستی همیشه به عنوان منبع ثانویه داده‌های گاهنگاری مورد استفاده قرار گیرد. بنابراین رادیوکربن به عنوان پایه‌ای برای سالیابی هیدراته شدن شناخته می‌شود؛ ولی این سوال در مورد وابستگی بین داده‌های کربن ۱۴ و مصنوعات یک محوطه و محوطه‌های مجاور به وجود آمده و در درستی و صحت ویژگی‌های زیست محیطی تردید وجود دارد.

۵- منابع احتمالی خطا برای سالیابی متداول توسط OHD

به رغم اندازه‌گیری دقیق حلقه هیدراته شدن توسط پرتوهای هسته‌ای و مادون قرمز با کمک بزرگنمایی نوری، همچنان منابع نامشخص خطا در هر برنامه متداول OHD که با هوشیاری و دقت انجام یافته، باقی مانده است. دلایل عدم قطعیت در نتایج OHD شامل موارد زیر است:

محتوای آب و ترکیب شیمیایی آن، رطوبت، اندازه‌گیری حلقه، میزان تنوع انتشار به جهت وجود آب درونی که به کمک آزمایشات دماهای بالاتر معین شده، روند اطلاعاتی محوطه‌ها، خطای قدمت ناشی از روش‌های مقایسه‌ای (کربن ۱۴ و نوع شناسی باستان‌شناسی) که بر صحت حلقه سن تأثیر می‌گذارد. خطاها رادیوکربن به طور معمول در محدوده ۲۰۰-۵۰ سال گزارش شده است که در محدوده‌های زمانی متعدد به دلیل تردیدهای موجود، نوسان داشته است. از طرف دیگر تشخیص قدمت طبق طبقه‌بندی گونه‌شناسی، ممکن است در فازهای فرهنگی یکسان باشد ولی تائیدیه باستان‌شناسان در اغلب موارد لازم است.

علاوه بر اینها، اختلالات محوطه‌های تاریخی به خصوص در طبقات اولیه، یک ضرورت برای سالیابی مستقل در نمونه‌های واقعی به وجود می‌آورد. علی‌رغم روش شبیه‌سازی آماری خیلی دقیق و انتشار خطاها، ارزیابی تمام منابع خطا برای فاکتورهای گوناگون، بین حداقل درصد تا ۱۰٪ در نوسان است. موضوع پایش هر نمونه به طور مجزا و محل دفن آن به عنوان یک نمونه منحصر بفرد یک قانون است.

در این راستا کالیبراسیون در محوطه‌های کاوش باستان‌شناسی همیشه مفید بوده اما مستلزم صرف زمان و تلاش زیاد است؛ ارزیابی مختصراً از عوامل اصلی مرتبط با OHD در زیر شرح داده شده است:

۱. دما: کوچکترین میزان خطا در EHT در معادله آرنیوس^۴ خطایی برابر با چندین قرن را در پی دارد. برای انرژی فعال سازی E برابر با $85 \pm 1 \text{ kJ/mol}$ درجه سانتی‌گراد، 13% و برای 25 ± 2 درجه سانتی‌گراد، 37% در مجموع منجر خواهد شد. دمای بالا (عوامل دیگر ترکیب شیمیایی و

پنجاه سال کاربرد سالیابی ابسیدین هیدراته شده در باستان‌شناسی

فشار بخار آب است) شاید به عنوان تعديل کننده شناخته شده در میزان هیدراته شدن ابسیدین، به حساب آید اما برای پیش بینی دقیق میزان هیدراته شدن کافی نیست. به همین علت ابسیدین هنوز نیاز دارد تا برای تعیین شرایط ویژه، مستقلًا مورد ارزیابی قرار گیرد. روش دمایی دیگر که بر پایه استفاده از مجموع پارامترهای دمایی برای یک محوطه و تجزیه و تحلیل مقیاس دمایی منطقه قرار دارد، نیز دارای تردید و عدم قطعیت است. داوری در این نوع آنالیزها به دلیل تفاوت الگوهای آب و هوایی در هر قسمت از جهان و تغییرات خرد اقلیم، ناکافی بودن میانگین‌ها زمانی که تلاش‌های قابل ملاحظه در تعیین دقیق درجه حرارت مؤثر در هیدراته شدن انجام یافته، لازم است. مطمئنًا بزرگترین مشکل دماست زیرا فرآیند هیدراته شدن به شدت وابسته به دما بوده و پیشینه دمایی اثر به طور قطعی قابل دسترسی نیست. روش‌های ریاضی برای جبران تقریبی تأثیرات دما وجود دارد اما آنها خود هنوز منبع اصلی و بزرگ از عدم قطعیت‌ها و تردیدها در نتایج هستند. از اینها گذشته، منابع حرارتی گذرا مانند آتش سوزی جنگل، می‌تواند در میزان هیدراته شدن و نتایج فرآیند OHD تأثیرگذار باشد. کلاً استفاده از روش‌های آماری را می‌توان برای تعداد زیادی از نمونه‌ها به کار گرفت.

دمای مؤثر هیدراته شدن، دمای پایداری است که به عنوان درجه حرارت متغیر با زمان در طی یک دوره از زمان، نتایج یکسانی از هیدراته شدن حاصل می‌شود و می‌توان توسط میانگین دما DEHT را محاسبه نمود. اگر بتوان مدل عددی برای پیشینه دمایی متغیر با زمان طرح نمود، EHT [۶۱و۱۰] که یک راه حل جدی برای مشکل انتشار است، برای تخمین مدل دمایی قابل محاسبه است. نتایج این محاسبه سابقاً گزارش شده است و معادله کاربردی برای باستان‌سنجی توسعه یافته است. اگر داده شاهد موجود باشد دمای مؤثر هیدراته شدن در اولین تغییرات سابقه دمایی قابل اصلاح است. البته به نظر نمی‌رسد بیشتر از ± 1 درجه سانتی‌گراد اصلاح شود. EHT که شامل تأثیرات پیشینه دمایی است، تنها یک پارامتر است. علاوه بر آن

$$\Delta r/r = -1/2(E/RT_e)^2 (\Delta T_e) \quad [۳۹]$$

۲. حلقه: به طور معمول معنی و استاندارد انحراف، از مجموع تقریبی ۶ مطالعه منفرد سنجش حلقه هیدراته شده گزارش شده توسط آزمایشگاه‌ها به دست آمده است. استاندارد انحراف همیشه در حدود کمتر از ۱٪ میلی میکرون و بیشتر بین ۱٪ تا ۰٪۰۵ میلی میکرون است. آنالیزهای قبلی حاکی از درستی وضوح سیستم میکروسکوپ هستند [۵۹]. این مقدار را ۰٪۲۵ میلی میکرون اندازه‌گیری کرده‌اند. مسئله مهم در اینجا وضوح نیست؛ بله درستی و انطباق اندازه گرفته شده با حداقل ۲ نمونه دیگر که به خوبی و درستی شناخته شده‌اند، است. پس خطاهای عنوان شده توسط آزمایشگاه‌های ابسیدین معقول است اما صحت نتایج آن به دلیل روش‌هایی که اخیراً نشان داده شد، ضعیف است. مقایسه مطالعات نوری به دست آمده توسط روش [۲۳و۵] SIMS و مادون قرمز [۳۳] از مقاطع هیدروژن نشان می‌دهد که عمق نفوذ آب در نمایی فراتر از نمای نوری

پنجاه سال کاربرد سالیابی ابسیدین هیدراته شده در باستان‌شناسی

انتشار، گسترش یافته است. در نتیجه روش‌های نوری نمی‌توانند دقیقاً انواع انتشار را به درستی نشان دهند. SIMS جهت افزایش قابل توجه دقت تا میزان $-0.5\text{--}0.1\mu\text{m}$ به کار گرفته می‌شود. اما هزینه‌های این روش برای هر نمونه در کاربردهای روزمره بسیار گزارف است. در واقع دقت بالاتر در بررسی حلقه هیدراته شده توسط SIMS و IRPAS قابل دسترسی است.

بررسی‌های مختلف نشان می‌دهد ضخامت لایه هیدراته با استفاده از روش‌های سیستماتیک سنتی نوری قابل اندازه‌گیری است. اما زمانی که نتایج با SIMS برای سنجش عمق انتشار H^+ مقایسه می‌شود، به دلیل شکست نوری ناشی از تنفس در شیشه مانع شهود نوری [۶] گسترش لایه هیدراته می‌گردد. ضخامت لایه هیدراته شده برخلاف روش‌های نوری، با روش IRPAS [۶۶] به خوبی قابل اندازه‌گیری است و رابطه خطی بین دو روش مذکور دقت هر دو را در ارزیابی ارتقاء بخشیده است.

۳. میزان نفوذ: میزان نفوذ از طریق هیدراته شدن تجربی و کنترل شده در محیط آزمایشگاهی برای استفاده در معادله آرنیوس، در دمای بالای متغیر دمای محیط یعنی حدود ۹۰ تا ۲۵۰ درجه سانتی‌گراد، محاسبه می‌گردد. اولًاً روش مطمئنی برای برونهای (تفسیر) در دماهای پائین‌تر نبوده و ثانیاً هیدراته شدن شبیه‌سازی شده رفتار قابل پیش‌بینی با منابع ابسیدین یکسان را در پی ندارد. استفاده SIMS و تجربیات شبیه‌سازی شده، میزان نفوذ بر پایه شرایط محیطی واقع می‌شود. تجربیات سالیابی از ابسیدین‌های پاپوا گینه نو بیانگر شرایط متنوع در همان دما و دماهای متفاوت برای ۴ منبع ابسیدین متفاوت است [۹۲]. عمق پروفایل SIMS و نتایج برگشت برای ابسیدین‌های هیدراته بنام امتبائو (MTbaο)، ایگوگاتا (Igwageta)، و کوک (Wekwo)، اومنگ (Umleang)، در ۴ مرتبه افزایش دما بین ۱۰ تا ۴۰ درجه سانتی‌گراد در ۴ منبع متفاوت، که هیچگونه ترکیب شیمیایی شناخته شده‌ای نداشتند، تنوعی از میزان نفوذ آشکار گردید [۷۱]. در دمای اتاق تا ۷۵ درجه سانتی‌گراد، با ۲ یا ۳ درجه حساسیت روش سالیابی برای دمای مفروض محلی، دچار تغییر شد [۹]. برآورد اولیه D با استفاده از فرمول آرنیوس بر پایه سنجش نوری و توسعه لایه هیدراته شده در دمای ۱۵۰ تا ۱۸۰ درجه سانتی‌گراد امکان پذیر است [۲۹]، اما منجر به ایجاد خطاهای زیاد سنجش ناشی از کاربرد روش‌های نوری می‌شود. پس ثابت برگشت هم دارای خطأ خواهد بود. اما اطلاعات به دست آمده بیانگر وجود رابطه بین غلظت آب ساختاری و D می‌باشد. به دلیل کاربرد آنالیزهای سنجش مادون قرمز برای نحوه گسترش لایه هیدراته شده درستی و دقت سنجش‌ها نیز افزایش یافته است. علی‌رغم این پیشرفت، در صحت سنجش حلقه و D همچنان تردیدهایی وجود دارد.

شتاب تجربه‌های هیدراته شدن تا چندین سال به طول انجامید. برای شناسایی مقطع H^+ در ابسیدین‌های دفن شده در محوطه‌ها از روش نانو SIMS استفاده شد. فرآیند انتشار و عمق غلظت از منحنی‌های S مانند پیروی می‌کنند که ۲ منطقه در منحنی هلالی شکل وجود دارد. اولی شامل قسمت اصلی انتشار بوده و

پنجاه سال کاربرد سالیابی ابسیدین هیدراته شده در باستان‌شناسی

دومی به دنبال پائین آمدن از منحنی اتفاق می‌افتد^[۲۴]. این اتفاق (۲ منطقه در منحنی کشکل) بر اساس مکانیسم‌های مختلف رخ می‌دهد و از هم متمایز بوده و بر اساس قانون دوم انتشار فیکر قابل تشریح است.

۴. چگالی: چگالی بر خلاف درصد وزنی آب اولیه ناپایداری ایجاد نمی‌کند، در عوض یک منحنی قوی با پراکندگی زیاد، تغییری در تراکم‌های در حدود ۲/۳۵ به وجود می‌آورد^[۸۶و۸۷].

۵. وابسته زمان در مفهوم جذر توان \times بسیار سوال برانگیز بوده و توسط مولفان زیادی گزارش شده است و آنها بر اساس تجربه و با مقایسه OHD با روش‌های دیگر وابسته‌های دیگری نیز یافته‌اند^[۳۹, ۲۳, ۹]. به همین دلیل سالیابی‌های گزارش شده از OHD با دیگر روش‌ها مانند لومینسانس و کربن ۱۴ مقایسه می‌شود. در واقع وابستگی‌های معرف زمان منجر به کاربرد مدل‌های گوناگون می‌شود ولی خطی بودن رابطه بین کربن ۱۴ و هیدراته شدن ابسیدین یک کمبود بوده و طرح خطی به سمت زمان صفر، در عمق نیم سقوط صفر حاصل نمی‌شود. این باعث اختلافات سیستماتیک بین کربن ۱۴ و هیدراته شدن می‌شود. با اینکه عمق هیدراته شدن در زمان صفر باید صفر باشد، T^n کلی با داده‌های ابسیدین از کوه ۶۵^{۳۰} سازگاری دارد^[۶]. در کار رسپیوتی^{۳۱} و همکارانش^[۶] ثابت $n=۷/۲۵$ از میانگین شرایط براساس زمان بدون آزمایش آن بر روی محدوده زمانی گسترده‌تر مشتق شده است. بنابراین هر برون یابی دست یافتنی نیست. در بازبینی اخیر این مشکل گروه آزمایشگاهی ملی اوک ریچ^{۳۲} استنباط کردند که در زمان‌های کوتاه عمق [۹a] در آن غلظت مورد نظر واقع می‌شود، از معادله با میزان انتشار تغییر یافته متفاوت است و گرایش خطی بین محدود زمان در زمان کوتاه و زمان طولانی وجود دارد. همانطور که گفته شد مشاهدات تجربی با یافته‌های آزمایشگاهی^[۹] ناسازگار بوده و نیازمند بازبینی هستند. سنجش نادرست نوری مشخصات حلقه در منطقه حلقوی شکل جاییکه فرآیند به اتمام می‌رسد به اشتباه به کربن ۱۴ (شرایط و کالیبراسیون) نسبت داده می‌شود و شرایط آزمایشگاهی که نسبت به دماهای پائین حساس هستند باقیتی فرمول سازی شود. جای تعجب ندارد که این ارتباط ریاضی همیشه توسط باستان‌شناسان مورد استقبال قرار می‌گیرد^[۵۲].

۶. تحلیل سطح: سطح به عنوان فاکتور مهم در سالیابی هیدراته شدن^[۹۰و۹۲و۸۳و۷۴] شناخته شده است. این مورد هنوز در سیستم‌های سالیابی یک نقص محسوب می‌شود که در ابتدا تنها شیمی ابسیدین و دمای محوطه به عنوان متغیرهای اصلی به چشم می‌خوردند. زمانیکه یک اثر دارای درزهایی در سطح باشد، نتیجه مثبت این پیش آمد؛ قابلیت محاسبه میزان انحلال سطح در نمونه است. اگرچه از لحاظ تئوری OHD قادر است تاریخ‌هایی دقیق در حدود یک میلیون تا ۲۰۰ سال قبل ارائه دهد^[۹۴]، اما ورقه‌ورقه شدن

پنجاه سال کاربرد سالیابی ابسیدین هیدراته شده در باستان‌شناسی

سطح ابسیدین دسترسی به نتایج درست را محدود می‌کند. از طرف دیگر نانو SIMS قرائت دقیق‌تر را فراهم آورده است.

۷. تأثیرات رطوبت تقریباً کم است و به طور معمول در تجزیه و تحلیل نادیده گرفته می‌شود. مصنوعات ساخته شده از ابسیدین عموماً از طریق رطوبت خاک در معرض نفوذ آب قرار می‌گیرند. رطوبت نسبی (Rh) در خاک دائمًا بالاست حتی در صحراء^[۶۵]. با این حال، تأثیر شتاب هیدراته شدن با Rh ۱۰۰٪ مورد مطالعه قرار نگرفته است. یک قسمت از آزمایش بر روی ابسیدین‌های پاچوا که به مدت پنج روز در دمای ۱۵۰ درجه سانتی‌گراد در میانگین رطوبت نسبی ۲۱ تا ۱۰۰٪ قرار گرفته بودند؛ نتایج مقطع توده^[۹۶] SIMS مورد سنجش قرار گرفت و نتایج نشان دادند که میزان هیدراته شدن در واقع یک عملکرد ناشی از رطوبت نسبی است. اما مراتب رطوبت نسبی در اکثر خاک‌ها و تأثیر آن بر روی سالیابی هیدراته شدن بسیار ناچیز بود.

۸. آب درونی: هیدراته شدگی باقیمانده از سرمایش سریع گدازه‌ها فاکتور بسیار مهم در میزان هیدراته شدن است. علاوه براین، تنوع آب درونی که از فرآیندهای جغرافیایی زمان تشکیل ابسیدین نشات می‌گیرد مشاهده می‌شود. میزان هیدراته شدن ابسیدین در هر دمایی یک عملکرد از میزان غلظت آب در شیشه است (ر.ک. معادله^[۴] [۱۴ و ۱۹ و ۹۵ و ۹۶]). منشاء محتوای آب درونی در ابسیدین‌های منطقه‌ی کوزو^{۳۳} از کالیفرنیا در آمریکا مورد ارزیابی قرار گرفته^[۹۷] و البته سنجش محتوای آب درونی در هر نمونه به عنوان یک پیش نیاز است. روش‌های حاضر در اندازه‌گیری آب درونی در ابسیدین شامل میکروچگالی سنجی^[۶۷ و ۵۱]، طیف سنجی مادون قرمز^[۴ و ۵ و ۶۶] و آزمایش حرارت ماده^[۹۸] تا مرحله‌ای که ماده جرم خود را از دست دهد^{۳۴} می‌باشد.

۶- راهکارهای مدرن کاربرد SIMS

احیاء مجدد هیدروژن هیدراته شده^[۶۲] توسط ۲ گروه در لابرаторی بین المللی اوک ریجو و لابرаторی باستان‌سنگی دانشگاه اژه^{۳۵} رودس یونان^[۲۳] بررسی شده است. که نقطه تحول برای ابسیدین هیدراته و احیاء مطالعات سالیابی ابسیدین را به دنبال داشت. در همان زمان یک گروه مطالعاتی آمریکایی^[۶۰ و ۲۳]، یک کاربرد جدید از SIMS توسط لیریتزر^{۳۶} و دیاکوستاموتیا^{۳۷} [۳۵] را پایه گذاری کرد [۹۹ و ۳۵ و ۱۰۰]. هر دو گروه بر شبیه‌سازی مقطع غلظت O₂ به عنوان عمق هیدراته شدن از ۲ راه متفاوت تکیه داشت. در نتیجه SIMS ODD و SS SIMS به عنوان نسخه‌های ابداعی تدوین شدند. ODDSIMS از طریق

پنجاه سال کاربرد سالیابی ابسیدین هیدراته شده در باستان‌شناسی

کالیبراسیون کرین ۱۴ به طور کامل بر روی محدودیت دمایی تکیه دارد و SIMS-SS مستقل از هر کالیبراسیون هستند.

۲ مدل عمومی برای SIMS وجود دارد: روش ایستا و روش حرکتی وابسته به نیروی محرکه وابسته به چگالی جریان یونی اولیه و سه نوع متفاوت از طیف سنجی یونی شامل بخش مغناطیسی، قسمت چهار قطبی^{۳۸} و تجزیه‌گر جرمی زمان پرواز^{۳۹}. هر طیف سنجی می‌تواند در روش ایستا و ساکن و تجزیه لایه تک اتمی بالا با جریان یونی بسیار کم و روش متحرک با یک جریان یونی بالا برای آنالیزهای عمیق مورد استفاده قرار گیرد.

علی‌رغم کاربرد نسبتاً اندک SIMS در بررسی‌های سطح ابسیدین در سالیابی OHD ترقی بسیاری داشته است. SIMS در عmom، بر اساس عملکرد خود بر ۴ دسته ابزاری طبقه بندی می‌شود: اشیاء، تحرک، تجزیه‌گر جرمی زمان پرواز و ابزار چهار قطبی. در اصل تکنیکی است با تفکیک پذیری بالا، افراط در عناصر شیمیایی و اعمال رفتارهای غیر مخرب ضروری در ساختارهای مولکولی. آغاز این حرکت با تی‌سانگ و همکارانش [۴۱] بوده و در ادامه توسط دهها تن برای موضوعات با کاربرد SIMS در مصنوعات ابسیدینی مورد استفاده قرار گرفته است. اما بیشتر برای مطالعه مولفه‌های لایه هیدراته شده، نفوذ کاتیون‌ها، و سالیابی ابسیدین‌ها مورد استفاده قرار گرفته است. رویکرد OHD با منطق کاملاً جدید برای پالایش تکنیکی پیشنهاد شد تا در دقت و صحت این روند پیشرفت کرده و سودمندی قابل اعتماد داده‌های باستان‌سنگی را افزایش دهد.

آنوویتز^{۴۰} و همکارانش[۲۹] مدلی ارائه کردند که بر انتشار وابسته به ترکیب تکیه داشت و از راه حل تفاضل محدود (FD) و المان محدود و با شرح دقیق مقطع H^+ به دست آمده توسط SIMS استفاده می‌کرد. این روش از محاسبات عددی برای شبیه‌سازی اطلاعات انتشار استفاده کرده و با منحنی مشتق شده از مقطع هیدروژن متناسب است. معادلات (FD) براساس تعداد فرضیات در مورد رفتار آب به هنگام نفوذ به داخل شیشه و نقاط مشخص نفوذ⁺ H در SIMS به دست آمده‌اند. در نمونه رودس^{۴۱} یونان سالیابی بر پایه مدل سازی مقطع هیدروژن در قانون انتشار فیکز و لایه اشباع سطحی تبعیت می‌کند و در واقع لایه اشباع در سطح تا عمق خاصی شکل می‌یابد و وابسته به فاکتورهایی مانند مکانیسم انتشار مولکول‌های آب، ساختار شیمیایی ابسیدین (دما، رطوبت، و فشار) است. تمام این فاکتورها با یکدیگر، تشکیل یک حدود ثابت و میزان غلظت در لایه سطحی خارجی را در پی دارد.

در مدت زمان کوتاهی پس از شروع فرآیند انتشار، یک لایه باریک و یک لایه اشباع شده با آب شکل می‌گیرد. مدت زمان لازم برای این شکل گیری برابر با $T=0$ است. مدت این شکل گیری در برابر کل زمان

پنجاه سال کاربرد سالیابی ابسیدین هیدراته شده در باستان‌شناسی

انتشار بسیار کوتاه است و بنابراین می‌توان از آن در فرآیند محاسبه سن، صرف نظر کرد. به دنبال این دوره، لایه اشباع شده با گذشت زمان به عمق بیشتری نفوذ می‌کند. موقعیت اشباع شده بر روی سطح موقعیت نسبی محیط فیزیکی انتشار در طول زمان سپری شده در یک زمینه خاص باستان‌شناسی ارائه می‌دهد و نشان می‌دهد [۳۹] که تمام مقاطع H^+ شبیه به هم هستند و این تنها ویژگی مشترک آنهاست. علی‌رغم این موقعیت آنها از یک نوع ماده زمین شناسی یکسان به وجود آمده‌اند. بازرسی نزدیکتر آنها بیانگر تفاوت‌های مسلم در آنهاست. این تفاوت‌ها ناشی از اثرات قابل توجه درونی و زیست محیطی بوده و ممکن است مشخصات هیدروژن را در SIMS چهار تغییر کند.

همین مشخصات مختص یک نمونه بوده و پایه و اساس قدمت‌های محاسبه شده توسط SIMS بر همین ویژگی‌ها استوار است. بنابراین هر برآورد قدمتی بر پایه مقطع برش انتشار قرار دارد که برای هر نمونه ابسیدین مختص و منحصر به همان نمونه است. سه مزایای عمدۀ برای این روش کامل وجود دارد:

۱: شکل نهایی مقطع هیدروژن ترکیبی از ۲ پارامتر محیطی بسیار متغیر و البته اصلی خارجی یعنی دما و رطوبت است.

۲: نتیجه کاربرد ابزاری SIMS برای سنجش لایه‌های هیدراته شدن اندازه‌گیری دقیق ضخامت با خطای ۰/۰۵ میلی میکرون است و این نیز وابسته به درجه سختی سطح نمونه است.

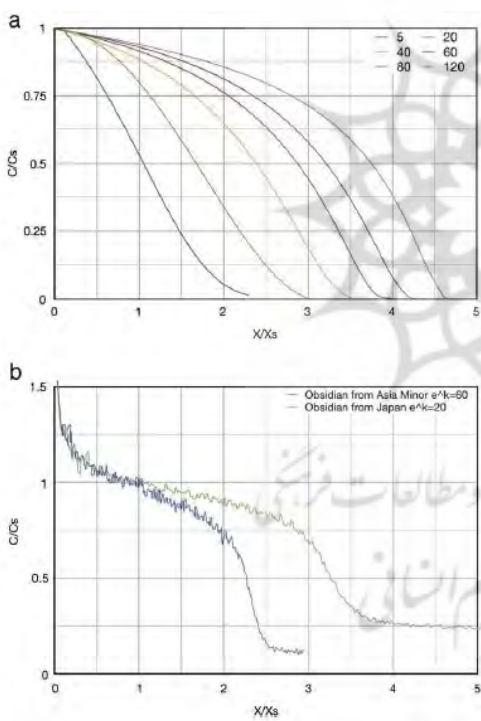
۳: تخمین سن مطلق باید محاسبه گردد. مقایسه سن منتج از کربن ۱۴ و SIMS_SS زمینه‌های باستان‌شناسی هر نمونه باید مورد بحث و بررسی قرار گیرد. با توجه ویژه به زمینه و رابطه بین وقایع رادیوکربن و بقایای موجود از ساخته‌های ابسیدینی هر ۲ فرم ماده به اندازه بازتاب آنچه که کربن و ابسیدین دارند و شامل اطلاعات تاریخی و سندهای باستانی، بسیار مهم هستند.

۷- خلاصه روش سالیابی توسط SIMS_SS

در تلاش برای مدل سازی انتشار، تئوری منحنی انتشار کرنکز^{۴۲}، [۲۰] مورد نقد قرار گرفت. این تئوری بر پایه شبیه‌سازی توزیع آب در سطح ابسیدین و از طریق حل معادلات دیفرانسیل توصیف کننده فرآیند انتشار، استوار شده است. جزئیات راه حل ریاضی درجایی دیگر ارائه شده است. مجموعه‌ای از منحنی‌های هلالی شکل برای غلظت و بدون بعد تعریف شده‌اند [۷ و ۳۹]. برای مقاطع SIMS، نمودارهای بدون بعد برای C/Csurface در برابر X/Xsurface مجدد رسم شده اند و با مقاطع منحنی‌های تهیه شده که به یک نقطه پایان C در طی x-axis هدایت می‌شود، منطبق هستند (ر. ک شکل^۴). در این راه حل مقدار K از طریق شکل پیچیده خاصی قابل محاسبه است. سپس منحنی با استفاده از نرم افزار ۲ بعدی^{۴۳} با داده‌های SIMS پیش‌نیاز با داده‌های SIMS گردیده و شرح داده می‌شود.

پنجاه سال کاربرد سالیابی ابسیدین هیدراته شده در باستان‌شناسی

ضریب انتشار آب در هر لحظه به خصوص با اولین مقطع هیدروژن مشتق شده تشریح می‌گردد. نسبت معکوس آن، میزان هیدراته شدن را آشکار می‌کند. میانگین $Cs & Xs$ به دست آمده از شناسایی لایه SS تمامی خطاهای وابسته به قدمت‌های SIMS_SS را بیان می‌کند. با استفاده از محصول نهایی انتشار، مدل پدیدارشناسی بر اساس برخی شرایط مانند حد و مرز اولیه و مکانیسم فیزیکو شیمیایی مناسب ارتقاء می‌یابد. که این مدل عکس رابطه غلظت H_2O و عمق مقطع را در معادله انتشار بر پایه زمان توضیح می‌دهد. شبیه‌سازی فرآیند انتشار یک پدیده تک بعدی است که در آن مولکول‌های آب به یک محیط نیمه محدود در یک جهت عمود بر سطح وارد می‌شود. مدل بر این نظریه استوار است که لایه SS در نزدیکی سطح نمونه که در نیمه اول نمودار هلالی قرار دارد یک فاصله بسیار کوتاه، ثابت فرض می‌شود. پس از آن C به تدریج در راستای تمایل (انحنای) منحنی افزایش می‌یابد.



شکل ۳. (a) ترسیم بدون بعد C و X و (b) ترسیم بدون بعد برای دو مقطع اندازه‌گیری شده متفاوت

به طور خلاصه ۳ اصل برای سالیابی وجود دارد:

- ۱: مقایسه طرح بدون بعد با خانواده منحنی‌های شناخته شده برای ثابت‌های انتشار.
- ۲: ارتباط بین میزان جابجایی (نفوذ) از سطح با مدت زمان انتشار غلظت اشباع C_s ، غلظت آب درونی C_i ثابت انتشار D و پیروی از متغیر دگرگونی بولتر.
- ۳: منحنی شبیه‌سازی شده مقطع نفوذ (غلظت در مقابل عمق) (معادله ۶ شکل ۷)

$$C = \exp(a + bx + cx^2 + dx^3) \quad \text{معادله ۶}$$

معادله سن‌یابی که شامل همه پارامترهای فوق الذکر است:

$$T = (C_i - C_5) \cdot 2 \cdot (1.128 / (1 - 0.177 k_{C_5} / C_5)) \cdot 2 / 4 D_{\text{eff}} (dC/dx|_{x=0})^2$$

معادله ۷

غلوظت آب درونی و C_s ثابت نفوذ برای عمق برابر با صفر، $D_{s,\text{eff}}$ ثابت ضریب نفوذ مؤثر تجربی که از مجموعه سنین در دسترس مشتق شده است (معادله ۸) مقدار مؤثر D_s برای C_s است و K از خانواده منحنی کرنکر استخراج شده است (شکل ۴).

$$D_{s,\text{eff}} = a D_s + b / (10^{22} D_s) \quad \text{معادله ۸}$$

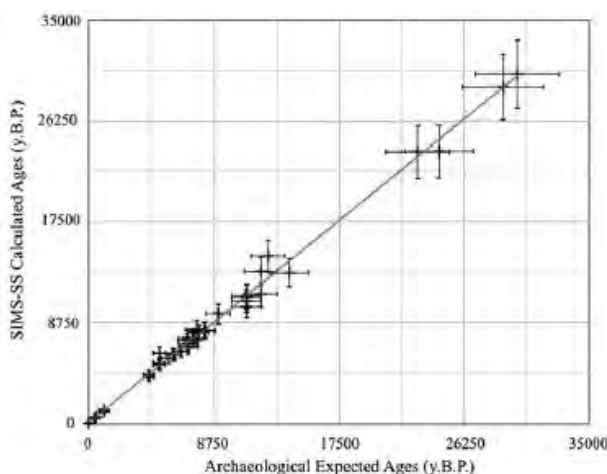
ثابت D_s برابر با $10^{-11} \times (dC/dx) / (1/(dC/dx))$ واحد معادله موضوع تحقیقات بیشتر هستند. پارامترهای بسیار مهم در روند سالیابی از محاسبات مربوط به ویژگی‌های اشباع X_s , C_{sld} هستند. اغلب سطح ابسیدین در مقیاس نانو و میکرو هموار نبوده و همین امر بر نفوذ آب و به تبع آن نتایج SIMS تأثیر می‌گذارد. با استفاده از میکروسکوپ پلاریزه نوری PLM و میکروسکوپ نیروی اتمی AFM سطح ابسیدین مشاهده شده و هر ارتباط بین سختی سطح و سنجش‌های SIMS مورد بررسی قرار گرفته است [۹۲ و ۹۳]. همانطور که توسط لیریتز و همکارانش [۹۳ و ۹۲] مطرح گردید رابطه خطی در ناحیه نفوذ ($y = a + bx$) پراکندگی که بر اثر درجه سختی سطح رخ می‌دهد را مشخص می‌کند. هرچه سطح هموارتر باشد پراکندگی نقاط دادهای در طرف دیگر انحتای خط کمتر دیده شده و مقطع نفوذ SIMS هموارتر خواهد بود. سختی سطح که با ابزار $H^+ \text{gmole or atoms/cc}$ AFM سنجیده می‌شود به طور خطی با استاندارد انحراف نقاط داده ای (مقادیر

و نسبت خطی در منطقه نفوذ SIMS مرتبط است. این تناسب انتخاب نمونه یا سطح ابسیدین مناسب برای سالیابی و همچنین انتخاب یک نقطه مطبوع برای اعمال آنالیز SIMS را می‌طلبد. اعتبار این روش جدید از طریق مقایسه با مشخصه‌هایی که به طور مستقل به دست آمده‌اند مورد آزمایش قرار گرفت. یک سلسله از نمونه‌ها از جزیره ایستر کشور شیلی، مکزیک، یونان، ژاپن، آسیای صغیر و مجارستان متعلق به بازه زمانی بین صد تا سی هزار سال و با داشتن پیشینه‌های باستان‌شناسی و سن سنجی شده توسط روش رادیوکربن ۱۴ قبل مورد استفاده قرار گرفته است. در واقع همگرایی بین ۲ روش سالیابی بسیار زیاد است [۹۰ و ۱۱۰].

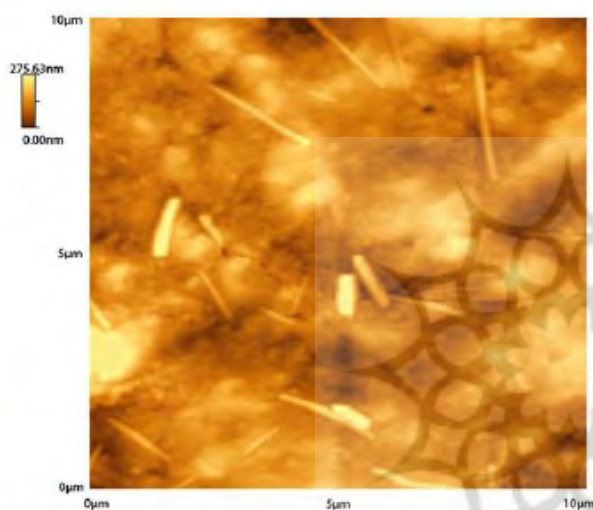
۸- منشأ خطاهای در روش جدید SIMS

گاهی اوقات مقاطع SIMS کاملاً فرم هلالی نداشته و بر نتایج سالیابی تأثیر می‌گذارد. همانطور که در بالا عنوان شد، مشکل بزرگ از سطح ناهموار نمونه ناشی می‌شود. علی‌رغم سطح هموار نمونه مقطع SIMS قادر شکل خاصی است. در برخی موارد برش عرضی SIMS بنظر می‌رسد کوتاه‌تر از آن چیزی است که برای آثار باستان‌شناسی انتظار می‌رود.

پنجاه سال کاربرد سالیابی ابسیدین هیدراته شده در باستان‌شناسی



شکل ۴. قدمت
باستان‌شناسی SIMS_SS و
کربن ۱۴، برای تمام
ابسیدین‌های سرتاسر جهان

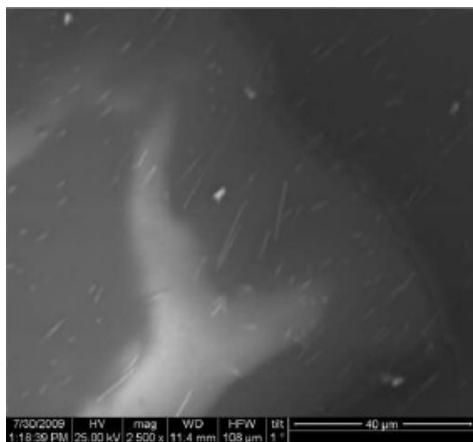


تصویر ۲. تصویر توپوگرافیک AFM غار سارکینوز در یونان که در آن میکرو کریستال‌ها قابل مشاهده است.

این نمونه‌های نامناسب براساس ایراداتی که دارند در ۲ گروه طبقه بندی می‌شوند:

گروه اول نمونه‌ها دارای سطح هوازده هستند که پوسته پوسته شدن سطح در اثر ضربات تصادفی رخ داده یا ناشی از انحلال سطح در خاک‌های قلیایی است. اکثر این نمونه‌ها به خصوص نمونه‌های بسیار کوچک قابل باستان‌سنجی نیستند. قدمت تعیین شده توسط مقطع هیدروژن SIMS می‌تواند توسط سطوح نامرتب طبیعی، لایه‌های خوردگی سطحی، و حضور کریستال‌ها در ابسیدین تحت فشار قرار گیرد.

دسته بندی دوم نمونه‌ها مقاطع تعریف شده و ناهموار SIMS هستند. علت اصلی این ناهمواری‌ها حضور کریستال‌هایی در ماتریکس ابسیدین یا سطح ناهموار آنها هستند. این نمونه‌ها شکل حلقوی منحنی نداشته و اکثر آنها دارای ناحیه مقطع عرضی اولیه و بخش عطف منفی هستند. آنالیزهای انجام یافته برای اینگونه نمونه‌ها به کمک دیگر روش‌های تصویر برداری انجام یافته است تا مقطع هیدروژن SIMS مجدد به دست آمده و مقاطع به دو گروه قابل قبول و غیرقابل قبول دسته بندی می‌شوند (شکل ۶ و ۷).



تصویر ۳. تصویر نمونه جزیره یالی در یونان (سایه روشن بهدلیل شارژ سطح نمونه اتفاق افتاده است). پراکندگی گستردۀ کریستال‌ها قابل رویت است.

با توجه به حساسیت قدمت به پارامترهای اندازه‌گیری، ۱۰٪ تغییر در Cs (غلظت اشباع) منجر به ۲۱٪ تغییر در سن، ۱۰٪ تغییر در عمق اشباع X_{S} , eK , Ci , و X_{S} به ترتیب ۶٪، ۰/۶٪، و ۰/۳۵٪ خطأ در تعیین قدمت به همراه خواهد داشت. خطاهای سنی اساساً غیر حساس به eK و Ci در مقایسه با X_{S} و Cs هستند. خطأ در متغیرها استاندارد انحراف در X_{S} و Cs و Ci است [۱۰۹]. خطای نهایی معادله ۷ است که از فرمول خطای انتشار تیلور^{۴۴} ناشی می‌شود (معیارهای کاربردی برای تخمین قدمت تاریخی تصاویر در آدرس انلاین رایگان موجود است www.rhodes.aegean.gr/tms/sims-ss).

یک مثال از سنجش قدمت با منطق پیشرفتۀ SIMS نمونه 2-YR از جزیره یورآ در یونان را می‌توان نام برد که انتظار می‌رفت قدمت آن بیشتر از ۹۰۰۰ سال قبل بوده باشد. اساساً بررسی تناسب نمونه و مقطع حلقوی به وسیله بررسی سطح توسط AFM و SEM برای یافتن ناحیه هموار در نمونه مهیا گشته است. در حالت مطلوب چند فرمولی که فرم هلالی را توصیف می‌کند از طریق تکرار چند فرمول ۳ مجھولی به دست آمده است. این تناسبات بایستی از قانونی که اخیراً معرفی شده است از عطف هذلولی تبعیت کنند. ثابت‌های چند فرمولی به دست آمده $a = -4133$, $b = -7.1699 \times \text{X}_{\text{S}}$, $c = 6.9926$, $d = -7e + 2.56$ و $e = 5.9647$ پس از آن با استفاده از رگرسیون‌های^{۴۵} چندباره خطی در ناحیه قبل از عطف هلالی، طول لایه اشباع قرار دارد و عمق اشباع و غلظت اشباع به عنوان مقادیر میانگین در این لایه ثبت می‌گردد.

برای نمونه 2-YR-2، $\text{X}_{\text{S}} = 7.1699 \times \text{grmol/cc}^5 e^{-1.47 \pm 0.0007738} \text{Cs} = 1.8369 \pm 5e^{-7}$ و $\text{cm}^6 e^{-1.8369 \pm 5e^{-7}}$ می‌باشد.

۲۰ نقطه داده‌ای استفاده شده برای محاسبه Ci غلظت درونی برابر با $1589 \pm 0.0001589 \text{ grmol/cc}^5 e^{-5.02 \pm 0.0001589}$ است.

در هر سه خصوصیت خطای $-$ به عنوان مقادیر استاندارد انحراف محاسبه می‌شوند [20]. از طریق مقایسه SIMS با خانواده منحنی‌های نظری کرنکر مقدار eK محاسبه شده که برای نمونه اخیر ۲۲۰ بوده و بنابراین K برابر با ۵ خواهد بود. در نهایت با قراردادن عمق اشباع در فرمول‌های مناسب که مقطع SIMS آنها $\text{X}=0$ است، سن به دارد، ثابت انتشار $s_{\text{eff}}=D$ ارزیابی قرار می‌گیرد. با در نظر گرفتن اینکه عمق صفر ($X=0$) است، سن به

پنجاه سال کاربرد سالیابی ابسیدین هیدراته شده در باستان‌شناسی

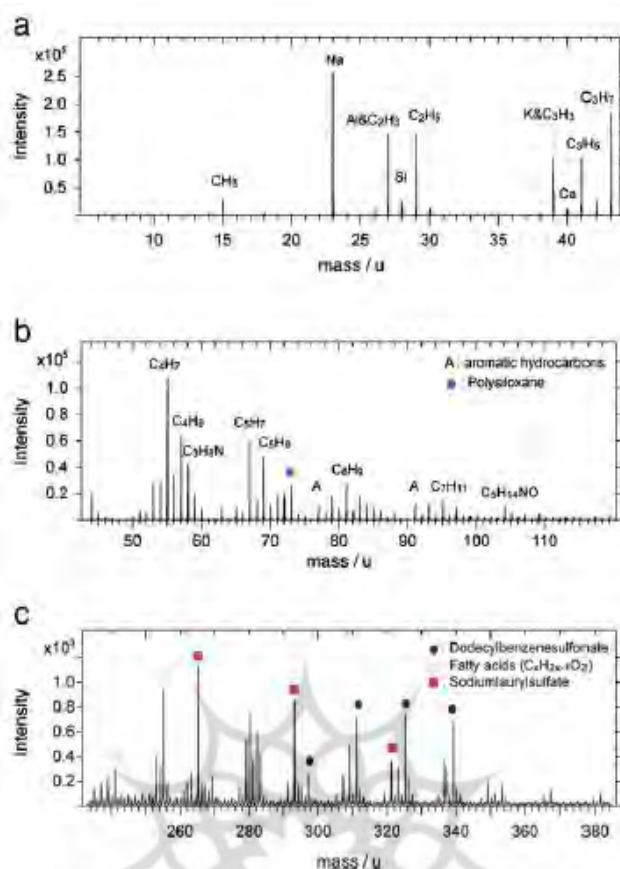
دست می‌آید(معادله ۷). در این نمونه این مقدار برابر $cm^2/year - 12 \pm 10.84e$ می‌باشد. در نهایت تمام پارامترهای محاسبه شده در معادله قدمت جاگذاری شد و نتیجه آن 771 ± 11.907 سال پیش به دست آمد.

۹. چشم‌انداز آینده از SIMS در ابسیدین

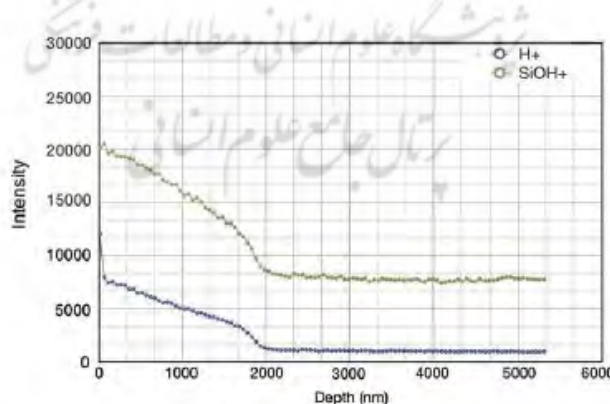
پاتل^{۴۶} و همکارانش[۱۱۱] عمق انتشار نیتروژن، کربن و قلیاها دیگری را در سطح ابسیدین جهت سالیابی مورد بررسی قرار دادند. اما این بررسی به موفقیتی دست نیافت. با این وجود، فعالیت آنها یک ابتکار پیشگامانه در ریخت شناسی سطحی و سطح نزدیک ابسیدین بود. این پژوهش متعهد به ۴ مسیر شامل ۱- شناسایی بقایای آلی ۲- پژوهش شواهد قانونی ۳- افزودن اطلاعات به مکانیسم انتشار ۴- نظارت نسبت ایزوتوپ اکسیژن است. در واقع استفاده از ابزار شواهد قانونی مدت زمان طولانی است که نظر باستان‌شناسان را جلب کرده است. در ۴۰ سال اخیر روش‌های مطالعه قابل توجهی برای شناسایی ویژگی‌های میکروسکوپی ابزارهای سنگی به وجود آمده است. برخلاف این نوع گسترش، حداقل روش شناسی استانداردها در زمینه تجزیه و تحلیل بنا نهاده شده است. استانداردهای تحقیقات کاربردی مستلزم به دست آوردن بینش بیشتر نسبت به درک فناوری‌های وابسته به سنگ و زمینه‌های فرهنگی آنها هستند. بررسی جزئیات ابزارهای منحصر بفرد برای بازسازی رابطه تکنورفتاری بین ابزارها و مجموعه‌ها که از بزرگترین جذابیت‌ها برای تحلیلگران سنگ و تمام باستان‌شناسان است، اهمیت زیادی دارد.

مولکول‌های آلی به سهولت قابل ردهیابی هستند. ردهیابی مولکول‌های آلی با کمک ترسیم سطح ۳ بعدی با پرتوهای یونی O_2, Bi, Cs ممکن می‌باشد. این روش تجزیه و تحلیل با تفکیک پذیری میکروسکوپ نوری قابل دسترسی است. شناسایی مولکول‌های آلی شامل ترکیبات متنوعی از قبیل اسیدهای چرب، لیپیدها، پروتئین با ریشه $C-OH$ و همچنین فنول‌ها، کتون‌ها، الکل‌ها، آلدھیدها است. در یک نمونه ترکیب شیمیایی اولامید^{۴۷} با منشاء ناشناخته پیدا شد که احتمالاً مربوط به مصنوعات دوره میانه سنگی است که حاوی ماده کمامود^{۴۸} یک نوع آمید، این نوع آمید یا در مغز حیوان وجود دارد یا مربوط به آلودگی ناشی از کیف‌های پلاستیکی است. احتمال بیشتر ناشی از ترکیبات مربوط به کیف‌های پلاستیکی است زیرا کمتر تکه تکه شده و دارای چگالی بالا هستند. این بقایا از زمان آماده شدن ابزار انباشته شده و از داخل حفرات موجود در سطح آن یافت شده‌اند. چنین حفرات سطحی نیز ممکن است بر مقطع SIMS تأثیر بگذارند. اما راههایی برای ممانعت از این مشکل از طریق تنوع همزمان پروفایلهای کربن، آلومینیوم، منیزیم که با SIMS چهارقطبی سنجیده شده، وجود دارد.

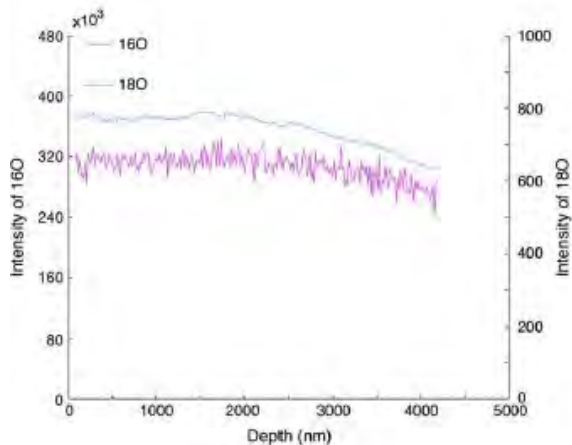
پنجاه سال کاربرد سالیابی ابسیدین هیدراته شده در باستان‌شناسی



شکل ۵. طیف TOF-SIMS مولکول‌های آلی از نمونه‌های YR_3 که a&b برای شناسایی یون مثبت و c برای شناسایی یون منفی است.



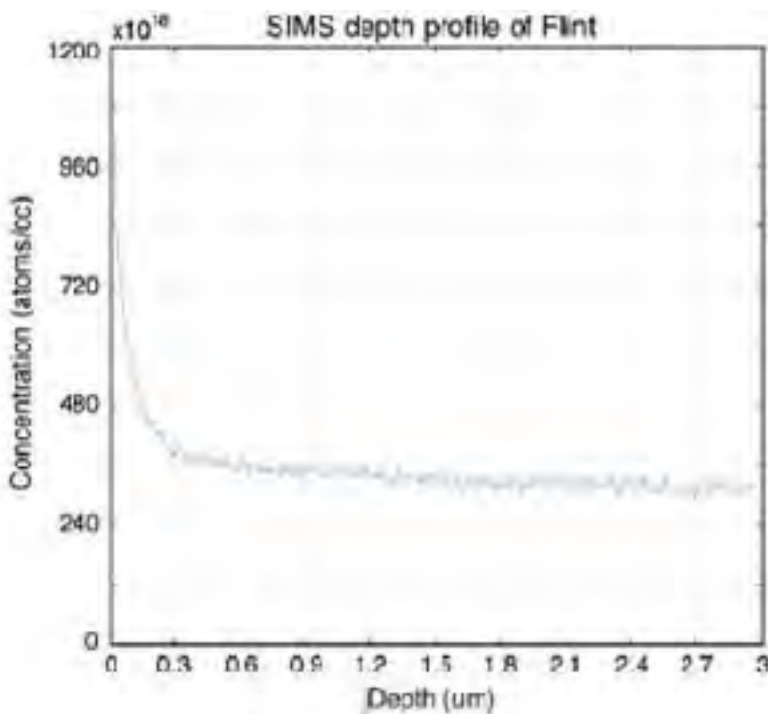
شکل ۶. مقطع عمق هیدروژن و گروههای سیلانول (SiOH)



شکل ۷. مقاطع O^{18} و O^{16} . محور سمت چپ چگالی O^{16} و محور سمت راست O^{18} را نشان می‌دهد. اخیراً تشخیص کاتیون‌ها شامل گروه‌های سیلانول که عمق شبیه H^+ دارد، امکان پذیر گشته است. این امر ممکن است پیامدهایی در تبادلات درون مولکولی و واکنش بین آب و شیشه آمورف را داشته باشد. هیدراته شدن ابسیدین به عنوان یک پدیده مورد آزمایش و بررسی قرار گرفته است [۱۱۳] و زمانی که O^{16}/O^{18} شناسایی گردید شاخصه بسیار مهم که دارای نشانه‌ای از پیشینه‌های دمایی ارائه می‌دهد به دست آمد (شکل ۱۰).

در موسم ۴۹ و همکارانش [۱۱۴ و ۱۱۵] نتیجه گرفتند که طی نفوذ آب و اکسیژن در کوارتز، واکنش برگشت پذیری اتفاق می‌افتد که در آن $O^{18}H_2O$ با SiO_2 شبکه $O^{18}O^{18}H_2O$ جایگزین می‌شود. این نتایج در راستای نتایج مقدماتی، می‌تواند منجر به این فرضیه گردد که مقطع اکسیژن یک ثبت و ضبط مداوم از درجه حرارت در محوطه‌های باستان‌شناسی فراهم می‌آورد و ممکن است به زودی با بسیاری از برنامه‌های کاربردی به اثبات برسد [۱۱۲]. در آخر، کاربرد روش سالیابی هیدراته شدن ابسیدین برای مقاطع هیدراته در سنگ چخماق و کوارتز به دلیل وجود شبکه کریستالی در SiO_2 همچنان سوال برانگیز است. این شبکه به دلیل گرایش کریستالوگرافی اثر شدیدی بر مکانیسم انتشار دارد [۱۱۶] و در تصویر ۱۱ مقطع SIMS آن ارائه شده است. هیچ شکل حلقوی واقع نشده است. تحقیقات مقدماتی وجود لایه اشباع را نشان نمی‌دهد. اگر فرض کنیم در سنگ چخماق (شیشه بلوری) مکانیسم دوم انتشار رخ می‌دهد، بنابراین جایگزین ویژگی‌های اشباع Xs و Cs می‌شود و غلظت در قسمت‌های بالاتر ابتدایی برون یابی غلظت H^+ در لایه هیدراته شده سنگ چخماق جایگزین می‌شود. ثابت نفوذ دارای مقداری برابر با مقدار سفارش شده اریکسون خواهد بود [۱۱۶]. ثابت مؤثر نفوذ، میزان نفوذی در محور کریستالوگرافی غالب شبکه SiO_2 را نشان داده و می‌توان قدمت آن را استنباط نمود [۱۱۷].

پنجاه سال کاربرد سالیابی ابسیدین هیدراته شده در باستان‌شناسی



شکل ۸: مقطع هیدراته شده سنگ چخماق از لامیا در یونان.

۱۰- نتیجه‌گیری

OHD بر پایه ریشه دوم (مجذور) زمان در شرایط محلی تحت کنترل توانسته قدمت‌های رضایت‌بخشی را فراهم آورد. کاربرد این روش بهدلیل پارامترهای متغیر و غیر قابل کنترل محیطی چندان ترقی نیافته است. پیشرفت OHD بر خلاف SIMS نشان می‌دهد که پدیده فیزیکی انتشار آب در شیشه، ارائه کننده راه حل برای سالیابی آثار ابسیدین است. علی‌رغم حساسیت روش دمایی، کمبود راهکارهایی برای نفوذ، از این روش همانند لومینسانس و کربن ۱۴ به طور گسترده استقبال می‌شود. آخرین پیشرفت‌ها شامل شبیه‌سازی مقطع آب است، که یک گام رو به جلو برای توصیف نحوه پدیده نفوذ می‌باشد.

روش SIMS_SS روش مناسبی است که در حال حاضر با در نظر گرفتن معیارهای درست نتایج معقول و قابل اعتمادی نسبت به دیگر روش‌ها ارائه می‌دهد. مقطع حلقوی غلظت، برخلاف عمق هیدراته شدن شامل تمام متغیرها و شرایط، منعکس کننده تاریخ دفن اثر است. مدل‌سازی e برخلاف X برپایه قوانین نفوذ فیکر استوار است. آینده OHD با نگاه‌های مترقبی، امیدوار کننده است و دوباره انگیزه اولیه خود برای تبدیل شدن به یک سیستم گاهنگاری عمومی بازیافته است و اینکه به موازات روش لومینسانس و کربن ۱۴ به عنوان روشی قطعی در سالیابی استفاده شود. در نهایت SIMS در مطالعات مستقیم و غیرمستقیم محیطی و کاربرد ابزار ابسیدین تأثیر چندمنظوره داشته است.

پی‌نوشت‌ها

1. Liritzis, I., & Laskaris, N. (2011). Fifty years of obsidian hydration dating in archaeology. *Journal of Non-Crystalline Solids*, 357(10).

²SIMS secondary ion mass spectrometry

³SIMS -SS : secondary ion mass spectrometry surface saturation

⁴Obsidian Hydration Dating (OHD)

⁵ Vicker اصول سختی سنجی بر پایه مقاومت مواد در مقابل فرورفتگی است. ابزار فرورونده، در جسم، در آزمون سخت سنجی ممکن است به صورت ساقمه، مخروط ناقص یا یک سطح یا هرم باشد. که معمولاً از فولاد سخت یا الماس ساخته شده است. در روش دینامیک با جاگذاری یک بار متحرک و یا ضربه‌ای با اندازه‌گیری میزان واچهش سختی اندازه‌گیری می‌شود. انواع روش‌های سختی سنجی با نام‌های سختی سنجی شور، ویکرز، مونترون یا آزمایش گلوله الماس را کول سطحی و سختی سنجی هربرت شناسایی می‌شود.

⁶ Mössbauer طیف بینی مازباور به روش طیف بینی مبتنی بر اثر مازباور در سال ۱۹۵۸ م. توسط رودولف لودیگ مازباور کشف شد. جذب و نشر بدون پس زنی پرتو در جامدها را شامل می‌شود.

⁷ ostwald

Tektites⁸ اجسام کوچک که برخی معتقدند تکه‌هایی از بقایای شهاب سنگ‌های آسمانی هستند و در رنگ‌های سیاه یا زرد مایل به سبز یافت می‌شوند.

⁹.silver

silanols¹⁰ به وجود مولکول‌های آبی اشاره دارد که ممکن است به شکل هیدروکسیل OH در شبکه سیلیکوس وجود داشته باشند.

¹¹naturally weathered

¹²concentration-dependent

¹³Ficks law

¹⁴concentration-depth

¹⁵SS layer

¹⁶fission-track dating

¹⁷equation

¹⁸ فرمولی وابسته به نسبت واکنش‌ها است. این معادله به وسیله پایه کمی ارتباط بین انرژی فعال‌سازی و سرعت واکنش ارائه می‌دهد و تأثیر دما بر سرعت واکنش را نشان می‌دهد که چگونگی تغییر ثابت سرعت (K) یک واکنش شیمیایی با دمای(T) و انرژی اکتیواسیون واکنش(E) را بیان می‌کند.

¹⁹ شبیه‌سازی مونت کارلو یک الگوریتم محاسباتی است از نمونه‌گیری تصادفی برای محاسبه نتایج استفاده می‌کند. روش مونت کارلو معمولاً برای شبیه‌سازی سیستم‌های فیزیکی، ریاضیاتی و اقتصادی استفاده می‌شود. گرایش به استفاده از روش مونت کارلو زمانی بیشتر می‌شود که محاسبه پاسخ دقیق با کمک الگوریتم‌های قطعی ناممکن یا نا موجه باشد.

²⁰photoacoustic

²¹Tsong

²² Michels

²³Braswell

²⁴Coner

²⁵Pamwak

²⁶Hopewell

²⁷ Stevenson

²⁸(IAOS)International association for obsidian studies.

²⁹ Dendrochronology

³⁰Mount65

^{۳۱}Riciputi

^{۳۲}Oak Ridge آزمایشگاه ملی و مرکز علمی فدرال در ایالت تنسی آمریکا است. دانشگاه تنسی به همراه شرکت خصوصی باقل این آزمایشگاه را اداره و هدایت می‌کند.

^{۳۳}Coso منطقه‌ای با کوه‌های آتش‌فشانی بین کالیفرنیا و لس آنجلس در شرق سیرانوادا

^{۳۴}mass loss on ignition

^{۳۵}Aegean

پرسور فیزیک در باستان‌شناسی. تخصص وی در علوم طبیعی در باستان‌شناسی و میراث فرهنگی است.

^{۳۶}Diakostamotia

^{۳۸}quadrupole

^{۳۹}TOFtime of flight mass spectrometry

^{۴۰}Anovitz

^{۴۱}Rhodes

^{۴۲}Crank's تئوری منحنی کرنکز

^{۴۳}Table Curve

^{۴۴}Taylors error propagation formula مقدار تقریبی یکتابع مشتق پذیر را ر همسایگی یک نقطه به دست می‌آورد. ضرایب این چند جمله‌ای را مشتق‌های اینتابع در نقطه مذکور تشکیل میدهد. این نظریه به نام ریاضیدان بروک تیلور نامیده شده است.

^{۴۵}Regression برخی پدیده‌های به مرور زمان از نظر کمی به طرف یک مقدار متوسط میل می‌کنند. یعنی به سمت متوسط یا میانگین باز می‌گردند در این متن رگرسیون به این مفهوم به کار رفته است.

^{۴۶}patel

^{۴۷}Oleamid

^{۴۸}Kemamud

^{۴۹}Doremos

منابع اصلی

- [1] I. Friedman, R.L. Smith, American Antiquity 25 (1960) 476–493.
- [2] R.R. Lee, D.A. Leich, T.A. Tombrello, J.E. Ericson, I. Friedman, Nature 250 (1974) 44–47.
- [3] I.S.T. Tsong, C.A. Houser, N.A. Yusuf, R.F. Messier, W.B. White, J.W. Michels, Science 201 (1978) 339–341.
- [4] S. Newman, E. Stolper, S. Epstein, American Mineralogist 71 (1986) 1527–1541.
- [5] C.M. Stevenson, I.M. Abdelrehim, S.W. Novak, Journal of Archaeological Science 28 (2001) 109–115.
- [6] L.R. Riciputi, M.J. Elam, L.M. Anovitz, D.R. Cole, Journal of Archaeological Science 29 (2002) 1055–1075.
- [7] I. Liritzis, M. Diakostamatiou, C.M. Stevenson, S.W. Novak, I. Abdelrehim, Journal of Radioanalytical and Nuclear Chemistry 261 (i) (2004) 51–60.
- [8] J.W. Michels, I.S.T. Tsong, G.A. Smith, Archaeometry 25 (2) (1983) 107–117.
- [9] a) L.M. Anovitz, J.M. Elam, L.R. Riciputi, D.R. Cole, Archaeometry 46 (2) (2004) 301–326; b) L.M. Anovitz, D.R. Cole, M.S. Gruszkiwicz, J.M. Elam, J. Non Cryst. Solids, (2006) 5652–5662.
- [10] A.K. Rogers, Journal of Archaeological Science 34 (2007) 656–665.
- [11] A.K. Rogers, Journal of Archaeological Science 35 (2008) 441–447.
- [12] R.H. Doremus, J. Mater. Res. 10 (1995) 2379–2389.
- [13] R.H. Doremus, J. Non-Cryst Solids 261 (2000) 101–107.
- [14] Y. Zhang, H. Behrens, Chemical Geology 169 (1–2) (2000) 243–262.
- [15] J.E. Ericson, O. Dersch, F. Rauch, Journal of Archaeological Science 31 (2004) 883–902.
- [16] R.H. Doremus, in: J.W. Mitchell, R.C. DeVries, R.W. Roberts, P. Cannon (Eds.), Reactivity of Solids, Wiley, New York, 1969, p. 667.

- [17] R.H. Doremus, Diffusion of Reactive Molecules in Solids and Melts, Wiley-Interscience, New York, 2002.
- [18] M. Nowak, H. Behrens, *Geochimica et Cosmochimica Acta* 59 (1995) 3445–3450.
- [19] Y. Zhang, E.M. Stolper, G.J. Wasserburg, *Geochim. et Cosmochim. Acta* 55 (1991) 441–456.
- [20] J. Crank, *The Mathematics of Diffusion*, Oxford University Press, Oxford, 1975
- [21] C. Wagner, *Journal of Chemical Physics* 18 (1950) 1227–1230.
- [22] I. Liritzis, Th. Ganetsos, *Applied Surface Science* 252 (19) (2006) 7144–7147.
- [23] L.M. Anovitz, J.M. Elam, L.R. Riciputi, D.R. Cole, *Journal of Archaeological Science* 26 (1999) 735–752.
- [24] S.R. Brodkey, I. Liritzis, *Mediterranean Archaeology and Archaeometry* 4 (2) (2004) 67–82.
- [25] Y. Zhang, *Reviews of Geophysics* 37 (1999) 493–516
- [26] L.A. Silver, E. Stolper, *Journal of Petrology* 30 (1989) 667–709.
- [27] L.A. Silver, P.D. Ihinger, E. Stolper, *Contributions to Mineralogy and Petrology* 104 (1990) 142–162.
- [28] C.M. Stevenson, M. Gottesman, M. Macko, *Journal of California and Great Basin Archaeology* 22 (2) (2000) 223–236.
- [29] C.M. Stevenson, J.J. Mazer, B.E. Scheetz, Archaeological obsidian studies: method and theory, in: M.S. Shackley (Ed.), *Advances in Archaeological and Museum Science*, vol. 3, Plenum Press, New York, 1998, pp. 181–204.
- [30] R. Brückner, *Journal of Non-Crystalline Solids* 5 (2) (1970) 123–175.
- [31] P.F. McMillan, B.T. Poe, P.H. Gillet, B. Reynard, *Geochimica et Cosmochimica Acta* 58 (17) (1994) 3653–3664.
- [32] L.M. Anovitz, D. Cole, M. Fayek, *American Mineralogist* 93 (2008) 1166–1178.
- [33] T. Yokoyama, S. Okumura, S. Nakashima, *Geochimica et Cosmochimica Acta* 72 (2008) 117–125.
- [34] Y. Zhang, X. Xu, Obsidian hydration profiles and dating, American Geophysical Union, 20038 Fall Meeting.
- [35] I. Liritzis, M. Diakostamatiou, *Mediterranean Archaeology and Archaeometry* 2 (1) (2002) 3–20.
- [36] M. Tomozawa, *Journal of the American Ceramic Society* 68 (1985) C251–252.
- [37] M. Nogami, M. Tomozawa, *Physics and Chemistry of Glasses* 25 (1984) 82–85.
- [38] T. Drury, G.J. Roberts, J.P. Roberts, *Advances in Glass Technology, Papers of the 6th International Congress on Glass*, Plenum Press, New York, 1962, pp. 249–255.
- [39] I. Liritzis, *Archaeometry* 48 (3) (2006) 533–547.
- [40] W.A. Lanford, K. Davis, P. Lamarche, T. Laursen, R. Groleau, *Journal of Noncrystalline Solids* 33 (1979) 249–266.
- [41] I.S.T. Tsong, C.A. Houser, S.S.C. Tsong, *Physics and Chemistry of Glasses* 21 (1980) 197–198.
- [42] I. Friedman, W. Long, *Science* 159 (1976) 347–352.
- [43] R.L. Fleischer, P.B. Price, R.M. Walker, S.B. Leakey, *Nature* 205 (1965) 1138.
- [44] G. Poupeau, O. Dorighel, L. Bellot-Gurlet, O. Dorighel, in: M.-C. Cauvin, A. Gourgaud, B. Gratuze, N. Arnaud, G. Poupeau, J.-L. Poidevin, C. Chataigner (Eds.), *L'Obsidienne au Proche et Moyen Orient*, BAR International Series, vol. 738, Hadrian Books Ltd, Oxford, 1998, pp. 53–67.
- [45] G. Poupeau, O. Dorighel, G. Toro, *Geologie de la Préhistoire: méthodes, techniques, applications*, in: J.-C. Miskovsky (Ed.), *Assoc. Pour l'étude de l'environnement géologique de la préhistoire* Maison de la géologie, Paris, 2002, pp. 1259–1272.
- [46] C.W. Meighan, F.J. Findlow, S.P. DeAtley, *A Compendium of the Obsidian Hydration Determinations Made at the UCLA Obsidian Hydration Laboratory: Obsidian Dates I*, Monograph III, Institute of Archaeology, University of California, Los Angeles, 1974.
- [47] C.W. Meighan, P.I. Venderhoeven, *A Compendium of the Obsidian Hydration Determinations Made at the UCLA Obsidian Hydration Laboratory: Obsidian Dates II*, Monograph VI, Institute of Archaeology, University of California, Los Angeles, 1978.
- [48] C.W. Meighan, G.S. Russell, *A Compendium of the Obsidian Hydration Determinations Made at the UCLA Obsidian Hydration Laboratory: Obsidian Dates III*, Monograph VI, Institute of Archaeology, University of California, Los Angeles, 1981.

- [49] T. Jackson, in: R.E. Hughes (Ed.), Obsidian Studies in the Great Basin, Contributions of the University of California Archaeological Research Facility,
- [50] C.W. Meighan, J.L. Scalise, A Compendium of the Obsidian Hydration Determinations Made at the UCLA Obsidian Hydration Laboratory: Obsidian Dates IV, Monograph XXIX, Institute of Archaeology, University of California, Los Angeles, 1988.
- [51] C.M. Stevenson, W. Ayres, Easter Island Archaeology: Research on Early Rapanui Culture, Los Osos, Easter Island Foundation, 2000.
- [52] K.L. Hull, Journal of Archaeological Science 28 (2001) 1025–1040
- [53] J.W. Eerkens, K.J. Vaughn, T.R. Carpenter, C.A. Conlee, M.L. Grados, K. Schreiber, Journal of Archaeological Science 35 (8) (2008) 2231–2239.
- [54] R. Ridings, Journal of Field Archaeology 18 (1991) 77–858 R.
- [55] R. Ridings, American Antiquity 61 (1996) 136–148.
- [56] J.L. Pearson, *Prehistoric occupation at Little Lake, Inyo County, California: a definitive chronology*. Unpublished MA thesis, Department of Anthropology, California State University, Los Angeles, CA, 1995.
- [57] R.H. Doremus, Journal of Materials Research 14 (9) (1999) 3754–37588 R.H.
- [58] C.M. Stevenson, B.E. Scheetz, D. Dinsmore, Bulletin No 1 of the International Association for Obsidian Studies, 1989, pp. 7–13, D.
- [59] B.E. Scheetz, C.M. Stevenson, Journal of Filed Archaeology 18 (1988) 77–85
- [60] W.R. Ambrose, in: R.E. Taylor (Ed.), Advances in Obsidian Glass Studies: Archaeological and Geochemical Perspectives, Noyes Press, Park Ridge, New Jersey, 1976, pp. 81–1054.
- [61] A.K. Rogers, Journal of Archaeological Science 35 (2008) 2009–2016.
- [62] I. Liritzis, Mediterranean Archaeology & Archaeometry 2 (1) (2002) 79–81.
- [63] W.R. Ambrose, Australian Archaeology 19 (1984) 64–748 W.R.
- [64] J.J. Mazer, C.M. Stevenson, W.L. Ebert, J.K. Bates, American Antiquity 56 (1991) 504–513.
- [65] I. Friedman, F.W. Tremour, F.L. Smith, G.I. Smith, Quaternary Research 41 (1994) 185–190.
- [66] C.M. Stevenson, I. Liritzis, M. Diakostamatiou, S.W. Novak, Mediterranean Archaeology and Archaeometry 2 (1) (2002) 93–109.
- [67] W.R. Ambrose, C.M. Stevenson, Archaeology and Archaeometry 4 (2) (2004) 5–16.
- [68] A.K. Rogers, Journal of Archaeological Science 33 (12) (2006) 1696–17058 also, personal Communication to IL, 2010.
- [69] T. Tokoyama, S. Okumura, S. Nakashima, Geochimica et Cosmochimica Acta 72 (2008) 117–1258 S.
- [70] Y. Zhang, R. Belcher, P.D. Ihinger, L. Wang, Z. Xu, S. Newman, Geochimica et Cosmochimica Acta 61 (1996) 3089–3100.
- [71] W.R. Ambrose, S.W. Novak, Abstract Book of The Dating and Provenance of Obsidian and Ancient Manufactured Glasses International Specialized Workshop, Delphi, Greece, Feb 21–24 2008.
- [72] C.M. Stevenson, I. Abdelrehim, S.W. Novak, American Antiquity 69 (2004) 555–568.
- [73] W.R. Ambrose, in: B.L. Fankhauser, J.R. Bird (Eds.), Archaeometry: Current Australasian Research, Prehistory Department, ANU, Canberra, 1993, pp. 79–84.
- [74] M.E. Morganstein, C.L. Wicket, A. Barkatt, Journal of Archaeological Science 26 (1999) 1193–1210.
- [75] R. Bartholomew, P. Tick, S. Stookey, Journal of Non-Crystalline Solids 38 and 39 (1980) 637–642.
- [76] I. Liritzis, C.M. Stevenson, N. Laskaris, S. Novak, W. Ambrose, Th. Ganetsos, Abstract Book of The Dating and Provenance of Obsidian and Ancient Manufactured Glasses International Specialized Workshop, Delphi, Greece, Feb 21–24 2008.
- [77] I. Friedman, F.W. Tremour, R.E. Hughes, in: R.E. Taylor, J. Martin, J. Aitken (Eds.), Chronometric Dating in Archaeology, Plenum Press, New York, 1997, Chapter 10.
- [78] G.E. Braswel, Honduras Latin American Antiquity 3 (2) (1992) 130–147.
- [79] D. Webster, A. Freter, Settlement History and the Classic Collapse at Copan: A Redefined Chronological Perspective, Latin American Antiquity 1 (1) (1990) 66–85.

- [80] J.P. Lowe, D.J. Lowe, A.P.W. Hodder, A.T. Wilson, *Chemical Geology* 46 (4) (1984) 351–3638 A.T.
- [81] I. Friedman, N. Peterson, *Science* (1971) 172.
- [82] C.M. Stevenson, P.J. Sheppard, D.G. Sutton, *Journal of Archaeological Science* 23(2) (1996) 233–242.
- [83] W.R. Ambrose, *Quaternary Geochronology (Quaternary Science Reviews)* 13(1994) 137–142.
- [84] C.M. Stevenson, D. Wheeler, S.W. Novak, R.J. Speakman, H.D. Glascock, *J. Archaeol. Science* 49 (1) (2007) 153–177.
- [85] W.R. Ambrose, in: M.S. Shackley (Ed.), *Method and Theory in Archaeological Obsidian Studies*, Plenum Press, New York, 1998, pp. 205–222.
- [86] J. Andersen, T.M. Origer, *IAOS Bulletin* 19 (1997) 17–208 T.M.
- [87] The effects of fire and heat on obsidian, in: J.M. Loyd, T.M. Origer, D.A. Fredrickson (Eds.), *Compiled Volume of papers of the 33rd Annual Meeting Society of California Archaeology*, April 1999, Sacramento, California, 2002, D.A.
- [88] A.K. Rogers, *Bull. Int. Assoc. Obsidian Studies* 41 (2009) 9–208 see, also IAOS no.40, 11–32.
- [89] A.K. Rogers, *Bull. Int. Assoc. Obsidian Studies* 42 (2010) 13–20.
- [90] G.J. West, W. Woolfenden, J.A. Wanket, R.S. Anderson, in: T.L. Jones, K.A. Klar (Eds.), *California Prehistory: Colonization, Culture, and Complexity*, Altamira Press, Walnut Creek, 2007, pp. 11–34.
- [91] D.H. Jacobs, *Fundamentals of Optical Engineering*, McGraw-Hill, New York, 1943.
- [92] I. Liritzis, M. Bonini, N. Laskaris, *Surface and Interface Analysis* 40 (2008) 458–463.
- [93] I. Liritzis, N. Laskaris, M. Bonini, *Physica Status Solidi* 5(12) (9) (2008) 3704–3707.
- [94] J.W. Michels, *Endeavour* 10 (2) (1986) 97–100.
- [95] J.R. Karsten, J.L. Delaney, *Earth Planet. Sci. Lett.* 52 (1981) 191–202.
- [96] J.L. Karsten, J.R. Holloway, J.L. Delaney, *Earth Planet. Sci. Lett.* 59 (1982) 420–428.
- [97] C.M. Stevenson, E. Knauss, J.J. Mazer, J.K. Bates, *Geoarch.* 8 (5) (1993) 371–3848 J. K.
- [98] A. Steffen, A, *The Dome Fire obsidian study: investigating the interaction of heat, hydration, and glass geochemistry*. PhD dissertation, Department of Anthropology, University of New Mexico, 2005.
- [99] C.M. Stevenson, I. Liritzis, M. Diakostamatiou, S.W. Novak, I. Abdelrehim, Abstract Book of International Specialized Workshop Recent Advances in Obsidian Dating and Characterization, Melos Island, July 2–5 2003.
- [100] I. Liritzis, M. Diakostamatiou, The Abstract book of International Specialized Workshop Recent Advances in Obsidian Dating and Characterization, Melos Island, July 2–5 2003.
- [101] Melos Workshop, Abstract Book, Recent Advances in Obsidian Dating and Characterization, Intern. Spec. Workshop, 2–5 July 2003, Lab. of Archaeometry Univ of the Aegean Greece & IAOS, Milos Island, 2003, p. 40.
- [102] Obsidian Summit, International Workshop, 2–3 Sept 2004, Rikkyo University, Tokyo Japan, 2004.
- [103] International Workshop Delphi, International Specialized Workshop on “The dating and provenance of obsidian and ancient manufactured glass”, 21–24 Febr. 2008, Delphi, Abstract Book by Lab of Archaeometry, Univ of the Aegean Rhodes, Greece, 2008, p. 22.
- [104] A. Benninghoven, F.G. Rudenauer, H.W. Werner, *Secondary ion mass spectrometry: basic concepts, instrumental aspects, applications, and trends*, Wiley, New York, 1987; J.C. Vickerman (Ed.), *Surface Analysis—The Principal Techniques*, John Wiley & Sons, London, 2008.
- [105] R.G. Wilson, F.A. Stevie, C.W. Magee, *Secondary Ion Mass Spectrometry: A Practical Handbook for Depth Profiling and Bulk Impurity Analysis*, Wiley, New York, 1989.
- [106] T.R. Ireland, in: M. Hyman, M. Rowe (Eds.), *Advances in Analytical Geochemistry*, JAI Press, Inc, Greenwich, Connecticut, 1995, pp. 1–118.
- [107] W. Compston, S.W.J. Clement, *Applied Surface Science* 252(2006) 7089–70958 S.W.J.
- [108] J.M. Smith, H.C. Van Hess, *Introduction to Chemical Engineering Thermodynamics*,

- 4th ed. McGraw-Hill, New York, 1987.
- [109] I. Liritzis, N. Laskaris, Nucl. Inst. Meth., Physics Research B 267 (2009) 144–150.
- [110] I. Liritzis, Journal of Archaeological Science 37 (6) (2010) 1367–1377.
- [111] S.B. Patel, R.E.M. Hedges, J.A. Kilner, Journal of Archaeological Science 25 (1998) 1047–1054.
- [112] N. Laskaris, I. Liritzis et al., Obsidian surface investigations by TOF-SIMS cations and organics reveal the past, (in preparation).
- [113] L.M. Anovitz, L.R. Ricupi, D.R. Cole, M. Fayek, M.J. Elam, Geology 34 (2006) 517–520.
- [114] R.H. Doremus, Earth and Planetary Science Letters 163 (1998) 43–51.
- [115] R.H. Doremus, Journal of Non-Crystalline Solids 349 (2004) 242–247.
- [116] J. Ericson, World Archaeology 7 (1975) 151–159.
- [117] N. Laskaris et al, Flint hydration Dating (in preparation).

